

(19) 日本国特許庁(JP)

(12) 公表特許公報(A)

(11) 特許出願公表番号

特表2004-514375

(P2004-514375A)

(43) 公表日 平成16年5月13日(2004.5.13)

(51) Int. Cl. ⁷	F I	テーマコード (参考)
HO4B 17/00	HO4B 17/00 D	5K022
HO4B 7/26	HO4B 7/26 1O2	5K028
HO4J 13/00	HO4J 13/00 A	5K042
HO4Q 7/34	HO4B 7/26 1O6A	5K067
// HO4J 3/00	HO4J 3/00 H	

審査請求 有 予備審査請求 未請求 (全 55 頁)

(21) 出願番号 特願2002-543829 (P2002-543829)
 (86) (22) 出願日 平成13年11月17日 (2001.11.17)
 (85) 翻訳文提出日 平成14年7月16日 (2002.7.16)
 (86) 国際出願番号 PCT/KR2001/001971
 (87) 国際公開番号 W02002/041540
 (87) 国際公開日 平成14年5月23日 (2002.5.23)
 (31) 優先権主張番号 2000/69372
 (32) 優先日 平成12年11月17日 (2000.11.17)
 (33) 優先権主張国 韓国 (KR)
 (31) 優先権主張番号 2000/71084
 (32) 優先日 平成12年11月23日 (2000.11.23)
 (33) 優先権主張国 韓国 (KR)
 (31) 優先権主張番号 2000/70556
 (32) 優先日 平成12年11月24日 (2000.11.24)
 (33) 優先権主張国 韓国 (KR)
 (81) 指定国 AU, CA, CN, JP, RU

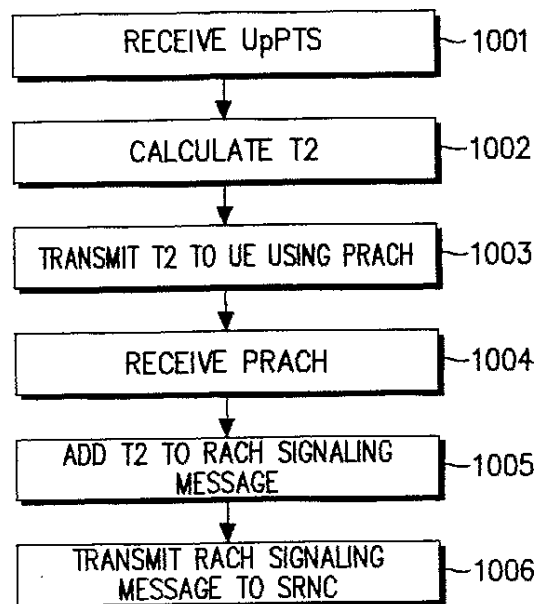
(71) 出願人 594001292
 サムスン エレクトロニクス カンパニー
 リミテッド
 大韓民国 キョンキード スオン市 ヨン
 トンク マエタンドン 416
 (74) 代理人 100064908
 弁理士 志賀 正武
 (74) 代理人 100089037
 弁理士 渡邊 隆
 (72) 発明者 ヒュン-ウー・イ
 大韓民国・441-390・キョンギード
 ・スウォン-シ・クォンソン-グ・クォン
 ソン-ドン・(番地なし)・ビョクサン・
 アパート・#806-901
 最終頁に続く

(54) 【発明の名称】 狭帯域時分割デュプレキシング符号分割多重接続移動通信システムにおける伝播遅延測定装置及び方法

(57) 【要約】

本発明は、TDD移動通信システムにおいて、UEによってノードBに伝送されるフレームの伝播遅延値を測定する方法を提供する。前記UEは、ダウンリンクパイロットタイムスロットの区間で伝送されるダウンリンクパイロットチャネル信号によって前記ノードBとの同期を獲得し、第1タイムスロット内の物理共通チャネル信号の送信電力と前記物理共通チャネル信号の受信電力を比較することによって予測往復伝播遅延値T1を決定する。

OPERATION OF Node B



【特許請求の範囲】**【請求項 1】**

2つのサブフレームから構成されるフレームを含み、それぞれの前記サブフレームは、複数のタイムスロット及び前記複数のタイムスロットのうち1番目のタイムスロットと2番目のタイムスロットとの間にダウンリンクパイロットタイムスロット及びアップリンクパイロットタイムスロットを有し、時間軸上に固定された前記フレームを伝送するノードB、及び前記ノードBから受信された前記フレームに应答して伝播遅延されたフレームを伝送するUEをさらに含む時分割デュプレキシング移動通信システムで、前記UEによって前記ノードBに伝送される前記フレームの伝播遅延値を測定する方法において、

前記ダウンリンクパイロットタイムスロットの区間で伝送されるダウンリンクパイロットチャンネル信号によって前記ノードBとの同期を獲得し、前記1番目のタイムスロット内の物理共通チャンネル信号の送信電力と受信電力とを比較することによって予測往復伝播遅延値 T_1 を決定する過程と、

アップリンクパイロットチャンネル信号の所望の伝送時点に前記予測往復伝播遅延値 T_1 を適用することによって前記アップリンクパイロットチャンネル信号を伝送する過程と、

前記タイムスロットのうちいずれか1つのダウンリンクタイムスロットの区間において前記ノードBから伝送される順方向物理アクセスチャンネル(FPACH)信号を通して伝送時点補正值 T_2 を受信する過程と、

前記伝送時点補正值 T_2 及び前記予測往復伝播遅延値 T_1 によって決定された伝送時点で前記予測往復伝播遅延値 T_1 を有する物理ランダムアクセスチャンネル(PRACH)メッセージを伝送することによって、前記物理ランダムアクセスチャンネルメッセージが前記タイムスロットのうちいずれか1つのアップリンクタイムスロットの区間の開始時点で前記ノードBに受信されるようにする過程と

を含むことを特徴とする方法。

【請求項 2】

前記物理共通チャンネル信号の送信電力は、前記物理共通チャンネル信号内の放送チャンネルを通して提供されるシステム情報によって決定されることを特徴とする請求項1記載の方法。

【請求項 3】

前記予測往復伝播遅延値 T_1 は、前記物理共通チャンネル信号の送信電力と受信電力とを比較することによって決定される経路損失に基づいて決定されることを特徴とする請求項1記載の方法。

【請求項 4】

前記アップリンクパイロットチャンネル信号の所望の伝送時点は、前記獲得された同期によって決定されることを特徴とする請求項1記載の方法。

【請求項 5】

前記伝送時点補正值 T_2 は、前記アップリンクパイロットタイムスロットの到着時点と前記アップリンクパイロットタイムスロットの所望の到着時点との間のオフセットによって決定されることを特徴とする請求項1記載の方法。

【請求項 6】

前記所望の到着時点は、前記アップリンクパイロットタイムスロットの区間の開始時点と同一であることを特徴とする請求項5記載の方法。

【請求項 7】

前記伝送時点補正值 T_2 は、-96チップ乃至32チップの範囲内で決定されることを特徴とする請求項6記載の方法。

【請求項 8】

前記-96チップは、前記ダウンリンクパイロットタイムスロットと前記アップリンクパイロットタイムスロットとの間に存在する保護区間を考慮して決定されることを特徴とする請求項7記載の方法。

【請求項 9】

10

20

30

40

50

前記物理ランダムアクセスチャネルメッセージの伝送時点は、前記予測往復伝播遅延値 T_1 と前記伝送時点補正值 T_2 の和によって決定されることを特徴とする請求項 1 記載の方法。

【請求項 10】

2つのサブフレームから構成されるフレームを含み、それぞれの前記サブフレームは、複数のダウンリンクタイムスロット、複数のアップリンクタイムスロット、及びダウンリンクパイロットタイムスロット及びアップリンクパイロットタイムスロットを有し、前記サブフレームの1番目のタイムスロット区間で物理共通チャネル信号を伝送するノードB、及び前記物理共通チャネル信号の経路損失によって予測往復伝播遅延値 T_1 を計算し、前記計算された往復伝播遅延値 T_1 を適用して前記アップリンクパイロットタイムスロットを伝送するUEをさらに含む時分割デュプレキシング移動通信システムで、前記ノードBによって前記UEに伝送されるフレームの伝播遅延値を測定する方法において、前記アップリンクパイロットタイムスロット区間においてアップリンクパイロットチャネル信号の到着時点と前記アップリンクパイロットチャネル信号の所望の到着時点との間のオフセットによって伝送時点補正值 T_2 を決定する過程と、前記伝送時点補正值 T_2 を順方向物理アクセスチャネル信号に含め、前記順方向物理アクセスチャネル信号を前記ダウンリンクタイムスロットのうちいずれか1つのダウンリンクタイムスロットの区間で前記UEに伝送する過程と、前記伝送時点補正值 T_2 及び前記予測往復伝播遅延値 T_1 によって決定された伝送時点に前記UEから伝送された前記予測往復伝播遅延値 T_1 を含む物理ランダムアクセスチャネルメッセージを、前記アップリンクタイムスロットのうちいずれか1つのアップリンクタイムスロット区間において受信する過程と、前記物理ランダムアクセスチャネルメッセージに含まれた前記予測往復伝播遅延値 T_1 及び前記伝送時点補正值 T_2 をランダムアクセスチャネルシグナリングメッセージに含めて前記UEの属する無線ネットワーク制御部に伝送することによって、前記無線ネットワーク制御部が前記ノードBと前記UEとの間の往復伝播遅延値を決定するようにする過程とを含むことを特徴とする方法。

10

20

【請求項 11】

前記所望の到着時点は、前記アップリンクパイロットタイムスロットの区間の開始時点と同一であることを特徴とする請求項 10 記載の方法。

30

【請求項 12】

前記伝送時点補正值 T_2 は、-96チップ乃至32チップの範囲内で決定されることを特徴とする請求項 10 記載の方法。

【請求項 13】

前記-96チップは、前記ダウンリンクパイロットタイムスロットと前記アップリンクパイロットタイムスロットとの間に存在する保護区間を考慮して決定されることを特徴とする請求項 12 記載の方法。

【請求項 14】

前記往復伝播遅延値は、前記予測往復伝播遅延値 T_1 と前記伝送時点補正值 T_2 の和によって決定されることを特徴とする請求項 10 記載の方法。

40

【請求項 15】

2つのサブフレームから構成されるフレームを含み、それぞれの前記サブフレームは、複数のダウンリンクタイムスロット、複数のアップリンクタイムスロット、及びダウンリンクパイロットタイムスロット及びアップリンクパイロットタイムスロットを有し、前記サブフレームの1番目のタイムスロット区間で物理共通チャネル信号を伝送するノードB、及び前記物理共通チャネル信号の経路損失によって予測往復伝播遅延値 T_1 を計算し、前記計算された往復伝播遅延値 T_1 を適用して前記アップリンクパイロットタイムスロットを伝送するUEをさらに含む時分割デュプレキシング移動通信システムで、前記UEと前記ノードBとの間に交換されるフレームの伝播遅延値を測定する方法において、アップリンクパイロットチャネル信号の所望の伝送時点に前記予測往復伝播遅延値 T_1 を

50

適用することによって決定された伝送時点で前記アップリンクパイロットチャネル信号を前記UEから前記ノードBに伝送する過程と、

前記ノードBによって前記アップリンクパイロットチャネル信号の到着時点と前記アップリンクパイロットチャネル信号の所望の到着時点との間のオフセットに基づいて伝送時点補正值T2を決定する過程と、

前記決定された伝送時点補正值T2を順方向物理アクセスチャネル信号とともに所定のダウンリンクタイムスロット区間において前記ノードBから前記UEに伝送する過程と、

前記順方向物理アクセスチャネル信号を通して受信された前記伝送時点補正值T2及び前記予測往復伝播遅延値T1に基づいて決定された伝送時点において前記予測往復伝播遅延値T1を有する物理ランダムアクセスチャネルメッセージを前記UEから前記ノードBに伝送する過程と、

所定のアップリンクタイムスロット区間の開始時点で前記物理ランダムアクセスチャネルメッセージを前記ノードBによって受信する過程と、

前記受信された物理ランダムアクセスチャネルメッセージに含まれた前記予測往復伝播遅延値T1及び前記伝送時点補正值T2をランダムアクセスチャネルシグナリングメッセージとともに前記UEの属する無線ネットワーク制御部に伝送することによって、前記無線ネットワーク制御部が前記ノードBと前記UEとの間の往復伝播遅延値を決定するようにする過程と

を含むことを特徴とする方法。

10

20

30

40

50

【請求項16】

前記アップリンクパイロットチャネル信号の所望の伝送時点は、獲得された同期によって決定されることを特徴とする請求項15記載の方法。

【請求項17】

前記アップリンクパイロットチャネル信号の所望の到着時点は、前記アップリンクパイロットタイムスロット区間の開始時点と同一であることを特徴とする請求項15記載の方法。

【請求項18】

前記伝送時点補正值T2は、-96チップ乃至32チップの範囲内で決定されることを特徴とする請求項15記載の方法。

【請求項19】

前記-96チップは、前記ダウンリンクパイロットタイムスロットと前記アップリンクパイロットタイムスロットとの間に存在する保護区間を考慮して決定されることを特徴とする請求項18記載の方法。

【請求項20】

前記物理ランダムアクセスチャネルメッセージの伝送時点は、前記予測往復伝播遅延値T1と前記伝送時点補正值T2の和によって決定されることを特徴とする請求項15記載の方法。

【請求項21】

2つのサブフレームから構成されるフレームを含み、それぞれの前記サブフレームは、複数のダウンリンクタイムスロット、複数のアップリンクタイムスロット、及びダウンリンクパイロットタイムスロット及びアップリンクパイロットタイムスロットを有し、前記サブフレームの1番目のタイムスロット区間で物理共通チャネル信号を伝送するノードB、及び前記物理共通チャネル信号の経路損失によって予測往復伝播遅延値T1を計算し、前記計算された往復伝播遅延値T1を適用して前記アップリンクパイロットタイムスロットを伝送するUEをさらに含む時分割デュプレキシング移動通信システムで、前記UEと前記ノードBとの間に交換されるフレームの伝播遅延値を測定する装置において、

アップリンクパイロットチャネル信号の所望の伝送時点に前記予測往復伝播遅延値T1を適用して決定された伝送時点で前記アップリンクパイロットチャネル信号を伝送し、順方向物理アクセスチャネル信号を通して受信された伝送時点補正值T2及び前記予測往復伝播遅延値T1によって決定された伝送時点で前記予測往復伝播遅延値T1を有する物理ラ

ンダムアクセスチャネルメッセージを伝送する前記UEと、
前記アップリンクパイロットチャネル信号の到着時点と前記アップリンクパイロットチャネル信号の所望の到着時点との間のオフセットによって伝送時点補正值T2を決定し、前記決定された伝送時点補正值T2を前記順方向物理アクセスチャネル信号とともに所定のダウンリンクタイムスロット区間で伝送し、所定のアップリンクタイムスロット区間の開始時点で受信される前記物理ランダムアクセスチャネルメッセージに含まれた前記予測往復伝播遅延値T1及び前記伝送時点補正值T2をランダムアクセスシグナリングフレームとともに無線ネットワーク制御部に伝送する前記ノードBと、
前記ランダムアクセスシグナリングフレームを受信し、前記受信されたランダムアクセスシグナリングフレームに含まれた前記予測往復伝播遅延値T1及び前記伝送時点補正值T2によって前記UEと前記ノードBとの間の往復伝播遅延値を決定する無線ネットワーク制御部と
を含むことを特徴とする装置。

10

【請求項22】

前記アップリンクパイロットチャネル信号の所望の伝送時点は、獲得された同期によって決定されることを特徴とする請求項21記載の装置。

【請求項23】

前記アップリンクパイロットチャネル信号の所望の到着時点は、前記アップリンクパイロットタイムスロット区間の開始時点と同一であることを特徴とする請求項21記載の装置。

20

【請求項24】

前記伝送時点補正值T2は、-96チップ乃至32チップの範囲内で決定されることを特徴とする請求項21記載の装置。

【請求項25】

前記-96チップは、前記ダウンリンクパイロットタイムスロットと前記アップリンクパイロットタイムスロットとの間に存在する保護区間を考慮して決定されることを特徴とする請求項24記載の装置。

【請求項26】

前記物理ランダムアクセスチャネルメッセージの伝送時点は、前記予測往復伝播遅延値T1と前記伝送時点補正值T2の和によって決定されることを特徴とする請求項21記載の装置。

30

【発明の詳細な説明】**【0001】****【発明の属する技術分野】**

本発明は、符号分割多重接続(Code Division Multiple Access: 以下、CDMAと称する)移動通信システムにおいて伝播遅延(propagation delay)を測定する装置及び方法に関し、特に、狭帯域時分割デュプレキシング(Narrow Band Time Division Duplexing: 以下、NB-TDDと称する)符号分割多重接続移動システムにおいて伝播遅延を測定する装置及び方法に関する。

40

【0002】**【従来の技術】**

通常に、CDMA移動通信システムは、周波数分割で送信周波数及び受信周波数を分割して使用する周波数分割デュプレキシング(Frequency Division Duplexing: 以下、FDDと称する)システム、及び時分割でダウンリンクチャネル及びアップリンクチャネルを分割する時分割デュプレキシング(Time Division Duplexing: 以下、TDDと称する)システムに区分される。つまり、前記TDDシステムは、1つのフレームを構成する複数のスロットをダウンリンクチャネルに対応するスロット及びアップリンクチャネルに対応するスロットとして指定する。さらに、前記TDDシステムは、広帯域時分割デュプレキシング(Wide Band Tim

50

e Division Duplexing: 以下、WB-TDDと称する)システム及び狭帯域時分割デュプレキシング(Narrow Band Time Division Duplexing: 以下、NB-TDDと称する)システムに分けられる。前記WB-TDDシステム及び前記FDDシステムは、3.84 Mcpsのチップレート(chip rate)を支援し、前記NB-TDDシステムは、1.28 Mcpsのチップレートを支援する。

【0003】

現在、次世代移動通信システムに対する国際標準化規格のための作業は、UMTS(Universal Mobile Telecommunication System)として代表される非同期システム及びCDMA-2000として代表される同期システムに区分されて進行されている。前記非同期システムの前記WB-TDDシステム及び前記NB-TDDシステムに対する技術は、3GPP(3rd Generation Partnership Project)によって定義される。

10

【0004】

一方、前記CDMA移動通信システムにおいて、無線チャネルを通して基地局(Node B: 以下、ノードBと称する)と移動端末(User Equipment: 以下、UEと称する)との間のデータ通信中には伝播遅延が必然的に発生する。前記WB-TDD方式及び前記FDD方式のCDMA移動通信システムにおいて、前記伝播遅延は、前記UEによって伝送されるランダムアクセスチャネル(Random Access Channel: 以下、RACHと称する)が前記ノードBに到着する時点によって測定される。

20

【0005】

図1は、WB-TDD方式のCDMA移動通信システムにおいて発生する往復伝播遅延(round trip delay)の例を示す図である。図1において、UTRAN(UMTS Terrestrial Radio Access Network: 以下、UTRANと称する)は、非同期方式のCDMA移動通信システムにおいて使用される用語であり、前記ノードB、複数のノードBを制御する無線ネットワーク制御部(Serving Radio Network Controller: 以下、SRNCと称する)、及びコアネットワーク(Core Network: 以下、CNと称する)を含む。

【0006】

図1を参照して往復伝播遅延値を測定する方法を説明する。前記UTRAN内のノードBは、RACHの基準到着時点Aと実際到着時点Bとの差を計算することによって往復伝播遅延値を測定することができる。前記RACHは、前記UEによって特定の時点に伝送される。前記基準到着時点Aは、予想伝播遅延を考慮して前記ノードBによって決定される前記RACHの予想到着時点であり、前記実際到着時点Bは、前記RACHが実際に前記ノードBに受信される時点である。さらに、前記往復伝播遅延値は、前記ノードBが前記UEにデータを伝送した時点と前記ノードBが前記伝送されたデータに対応する応答を前記UEから受信する時点との間の時間を称する。前記ノードBは、前記基準到着時点Aを予め知っている。従って、前記実際到着時点Bが測定されると、前記ノードBは、前記往復伝播遅延値を計算することができる。つまり、前記ノードBは、前記基準到着時点Aと前記実際到着時点Bとの間のオフセット(誤差)を予想往復伝播遅延値に適用することによって、所望の実際往復伝播遅延値を計算することができる。さらに、前記計算された往復伝播遅延値を1/2にすることによって前記UEから前記ノードBまでの実際伝播遅延値を計算することができる。

30

40

【0007】

前記ノードBによって測定された前記伝播遅延値は、フレームプロトコルメッセージ(frame protocol message)を通して、前記UEにサービスを提供するSRNCに伝達される。前記フレームプロトコルメッセージは、前記ノードBと前記SRNCとの間に伝送されるメッセージである。前記ノードBは、前記測定された伝播遅延値を前記フレームプロトコルメッセージのヘッダに付加して前記SRNCに伝送する。

50

【0008】

前記FDD方式のCDMA移動通信システムにおいて、前記ノードBによって測定されて前記SRNCに伝送される伝播遅延値は、前記SRNCが順方向アクセスチャネル(Forward Access Channel: 以下、FACHと称する)を通じたデータ伝送に必要な送信電力を設定する時に使用される。さらに、前記伝播遅延値は、前記UEの現在位置を推定するための位置確認サービス(Location Service: LCS)に使用されることもできる。つまり、前記SRNCは、前記ノードBから受信される前記伝播遅延値を分析することによって、前記UEにFACHフレームを伝送する時に使用される適切な送信電力レベルを決定して前記ノードBに伝送する。前記ノードBは、前記SRNCから伝送された前記適切な送信電力レベルを利用して前記UEに前記FACHフレームを伝送する。前記ノードBによって測定された伝播遅延値が大きくなるにつれて、前記ノードBが前記FACHフレームを伝送する送信電力レベルも大きくなる。

10

【0009】

前述したように、前記WB-TDD方式及び前記FDD方式のCDMA移動通信システムにおいては、前記伝播遅延を測定するために、前記UEから前記ノードBに提供されるRACHを利用する。前記UEは、前記ノードBのタイムスロットまたはフレームの開始時点に前記RACHを伝送する。このために、前記UEは、前記ノードBと同期を合わせなければならない。前記UEは、前記ノードBからの第1共通制御物理チャネル(Primary Common Control Physical Channel: 以下、P-CCPCHと称する)を利用して同期を合わせる。

20

【0010】

しかしながら、前記NB-TDD方式のCDMA移動通信システムにおいて、前記UEがアップリンクタイムスロットの伝送時点を予測して前記RACHを伝送するので、前記のような伝播遅延測定方法としては前記伝播遅延値を測定することができない。

【0011】

以下、前記NB-TDD方式のCDMA移動通信システムにおいて前記伝播遅延時間の測定ができない理由を詳細に説明する。前記NB-TDD方式のCDMA移動通信システムにおいて、1つのフレームを“ラジオフレーム(radio frame)”と称し、前記ラジオフレームは、10msの長さを有する。前記ラジオフレームは、5msの長さを有する2つのサブフレームから構成され、それぞれの前記サブフレームは、7つのタイムスロットから構成される。

30

【0012】

図2は、前記NB-TDD方式のCDMA移動通信システムにおいて使用される通常的なサブフレームの構造を示す図である。図2を参照すると、前記サブフレームは、7つの一般的なタイムスロットTS0~TS6、ダウンリンクパイロットタイムスロット(Downlink Pilot Time Slot: 以下、DwPTSと称する)、及びアップリンクパイロットタイムスロット(Uplink Pilot Time Slot: 以下、UpPTSと称する)から構成される。図2において、下向きの矢印によって表示されたタイムスロットは、前記ノードBから前記UEに伝送されるダウンリンクタイムスロットであり、上向きの矢印によって表示されたタイムスロットは、前記UEから前記ノードBに伝送されるアップリンクタイムスロットである。前記DwPTSは、前記UEが前記ノードBと同期を合わせることを可能にするために、前記ノードBがダウンリンクパイロットチャネル信号を通して予め決定されたコードシーケンス(code sequence)を伝送する区間である。前記UpPTSは、電力制御などのために、前記UEが前記ノードBに特定のコードシーケンスをアップリンクパイロットチャネル信号を通して伝送する区間である。図2において、前記ダウンリンクタイムスロットと前記アップリンクタイムスロットとの間の境界を“スイッチングポイント(switching point)”と称する。前記タイムスロットのうち、1番目のタイムスロットTS0は、常に前記ダウンリンクタイムスロットとして使用され、P-CCPCH信号を伝送するために使用される。

40

50

【 0 0 1 3 】

以下、図 2 に示すようなラジオフィーム構造を支援する NB - TDD 方式の CDMA 移動通信システムにおいて、前記伝播遅延を正確に測定することができない理由を説明する。

【 0 0 1 4 】

前述したように、前記 NB - TDD 方式の CDMA 移動通信システムにおいては、ダウンリンク及びアップリンクをタイムスロットで区分する。従って、前記 UE は、前記ノード B においてダウンリンク信号及びアップリンク信号が互いに干渉しないようにアップリンク信号を伝送すべきである。つまり、前記 UE は、図 2 に示す前記アップリンクタイムスロット区間で前記ノード B が前記アップリンク信号を受信することができるように前記アップリンク信号を伝送する。従って、前記 NB - TDD 方式の CDMA 移動通信システムにおいては、前記 UE と前記ノード B との間の同期を合わせる動作が必ず要求される。前記 UE は、前記ノード B から受信されるダウンリンクパイロットタイムスロット (DWPTS) を使用して、前記ノード B との同期を合わせる。

10

【 0 0 1 5 】

前記 UE は、前記ノード B との間の同期を合わせた後、前記ノード B から伝送される第 1 共通制御物理チャネル (P - CCPCH) を受信し、前記 P - CCPCH の減衰量によって前記 P - CCPCH の経路損失 (path loss) を測定して前記ノード B からのおよその距離を推定する。前記ノード B からの距離を推定した後、前記 UE は、前記ノード B が前記 UpPTS の開始境界時点 (start boundary point) で UpPTS 信号を受信することができるように、前記 UpPTS 信号の伝送時点をシフト (shift) する。

20

【 0 0 1 6 】

前記ノード B が前記 UpPTS の開始境界時点に前記 UE から前記 UpPTS を受信しなければならない理由は、前記 NB - TDD システムにおいてはダウンリンク信号及びアップリンク信号を時分割によって区別するので、前記ダウンリンク信号及び前記アップリンク信号の重畳による干渉が発生することを防止するためである。

【 0 0 1 7 】

前記ノード B は、前記 UpPTS 信号を受信し、前記 UpPTS 信号が自分の UpPTS 区間に正確に受信されたか否かを検査する。前記検査によって時間差がある場合、前記ノード B は、順方向物理アクセスチャネル (Forward Physical Access Channel: 以下、FPACH と称する) を通して伝送時点補正値を前記 UE に伝送する。前記 UE は、前記 FPACH を通して前記伝送時点補正値を受信すると、前記伝送時点補正値によって補正された伝送時点に RACH メッセージを伝送する。つまり、前記 UE は、前記 FPACH を通して受信された前記送時点補正値を利用して、前記 RACH メッセージの伝送時点を決定する。従って、前記 RACH メッセージは、適した時間に前記ノード B に到着することができる。

30

【 0 0 1 8 】

しかしながら、前記ノード B は、前記 UpPTS 信号を前記 UpPTS 開始境界時点に受信することを可能にするために、前記 UE が前記 UpPTS 信号の伝送時点をどれほどシフトしたのかが分からない。従って、前記ノード B は、前記 UE との伝播遅延を測定することができないので、前記伝播遅延によって送信電力を適切に制御することができない。

40

【 0 0 1 9 】

【 発明が解決しようとする課題 】

従って、本発明の目的は、NB - TDD 方式の CDMA 移動通信システムにおいて、ノード B と UE との間の伝播遅延を測定する装置及び方法を提供することにある。

【 0 0 2 0 】

本発明の他の目的は、NB - TDD 方式の CDMA 移動通信システムにおいて、ノード B によって伝播遅延値を測定し、前記測定された伝播遅延値を SRNC に伝達する装置及び方法を提供することにある。

【 0 0 2 1 】

50

本発明のまた他の目的は、NB-TDD方式のCDMA移動通信システムにおいて、UEによって伝播遅延値を測定し、前記測定された伝播遅延値をSRNCに伝達する装置及び方法を提供することにある。

【0022】

本発明のまた他の目的は、NB-TDD方式のCDMA移動通信システムにおいて、RACHを利用して伝播遅延値を測定する装置及び方法を提供することにある。

【0023】

本発明のまた他の目的は、NB-TDD方式のCDMA移動通信システムにおいて、専用チャンネルを利用して伝播遅延値を測定する装置及び方法を提供することにある。

【0024】

10

【課題を解決するための手段】

本発明の第一の特徴によれば、2つのサブフレームから構成されるフレームを含み、それぞれの前記サブフレームは、複数のタイムスロット及び前記複数のタイムスロットのうち1番目のタイムスロットと2番目のタイムスロットとの間にダウンリンクパイロットタイムスロット及びアップリンクパイロットタイムスロットを有し、時間軸上に固定された前記フレームを伝送するノードB、及び前記ノードBから受信された前記フレームに回答して伝播遅延されたフレームを伝送するUEをさらに含むTDD移動通信システムで、前記UEによって前記ノードBに伝送される前記フレームの伝播遅延値を測定する方法が提供される。前記方法は、前記ダウンリンクパイロットタイムスロットの区間で伝送されるダウンリンクパイロットチャンネル信号によって前記ノードBとの同期を獲得し、前記1番目のタイムスロット内の物理共通チャンネル信号の送信電力と受信電力とを比較することによって予測往復伝播遅延値T1を決定する過程と、アップリンクパイロットチャンネル信号の所望の伝送時点に前記予測往復伝播遅延値T1を適用することによって前記アップリンクパイロットチャンネル信号を伝送する過程と、前記タイムスロットのうちいずれか1つのダウンリンクタイムスロットの区間において前記ノードBから伝送される順方向物理アクセスチャンネル(FPACH)信号を通して伝送時点補正值T2を受信する過程と、前記伝送時点補正值T2及び前記予測往復伝播遅延値T1によって決定された伝送時点で前記予測往復伝播遅延値T1を有する物理ランダムアクセスチャンネル(PRACH)メッセージを伝送することによって、前記PRACHメッセージが前記タイムスロットのうちいずれか1つのアップリンクタイムスロットの区間の開始時点で前記ノードBに受信されるようにする過程と、を含む。

20

30

【0025】

本発明の第二の特徴によれば、2つのサブフレームから構成されるフレームを含み、それぞれの前記サブフレームは、複数のダウンリンクタイムスロット、複数のアップリンクタイムスロット、及びダウンリンクパイロットタイムスロット及びアップリンクパイロットタイムスロットを有し、前記サブフレームの1番目のタイムスロット区間で物理共通チャンネル信号を伝送するノードB、及び前記物理共通チャンネル信号の経路損失によって予測往復伝播遅延値T1を計算し、前記計算された往復伝播遅延値T1を適用して前記アップリンクパイロットタイムスロットを伝送するUEをさらに含むTDD移動通信システムで、前記ノードBによって前記UEに伝送されるフレームの伝播遅延値を測定する方法が提供される。前記方法は、前記アップリンクパイロットタイムスロット区間においてアップリンクパイロットチャンネル信号の到着時点と前記アップリンクパイロットチャンネル信号の所望の到着時点との間のオフセットによって伝送時点補正值T2を決定する過程と、前記伝送時点補正值T2を順方向物理アクセスチャンネル(FPACH)信号に含め、前記FPACH信号を前記ダウンリンクタイムスロットのうちいずれか1つのダウンリンクタイムスロットの区間で前記UEに伝送する過程と、前記伝送時点補正值T2及び前記予測往復伝播遅延値T1によって決定された伝送時点で前記UEから伝送された前記予測往復伝播遅延値T1を含む物理ランダムアクセスチャンネル(PRACH)メッセージを、前記アップリンクタイムスロットのうちいずれか1つのアップリンクタイムスロット区間において受信する過程と、前記PRACHメッセージに含まれた前記予測往復伝播遅延値T1及び前

40

50

記伝送時点補正值 T_2 をランダムアクセスチャネルシグナリングメッセージに含めて前記 UE の属する無線ネットワーク制御部 (RNC) に伝送することによって、前記 RNC が前記ノード B と前記 UE との間の往復伝播遅延値を決定するようにする過程と、を含む。

【0026】

本発明の第三の特徴によれば、2つのサブフレームから構成されるフレームを含み、それぞれの前記サブフレームは、複数のダウンリンクタイムスロット、複数のアップリンクタイムスロット、及びダウンリンクパイロットタイムスロット及びアップリンクパイロットタイムスロットを有し、前記サブフレームの1番目のタイムスロット区間で物理共通チャネル信号を伝送するノード B、及び前記物理共通チャネル信号の経路損失によって予測往復伝播遅延値 T_1 を計算し、前記計算された往復伝播遅延値 T_1 を適用して前記アップリンクパイロットタイムスロットを伝送する UE をさらに含む TDD 移動通信システムで、前記 UE と前記ノード B との間に交換されるフレームの伝播遅延値を測定する装置が提供される。前記 UE は、アップリンクパイロットチャネル信号の所望の伝送時点に前記予測往復伝播遅延値 T_1 を適用して決定された伝送時点で前記アップリンクパイロットチャネル信号を伝送し、順方向物理アクセスチャネル (FACH) 信号を通して受信された伝送時点補正值 T_2 及び前記予測往復伝播遅延値 T_1 によって決定された伝送時点で前記予測往復伝播遅延値 T_1 を有する物理ランダムアクセスチャネル (PRACH) メッセージを伝送する。前記ノード B は、前記アップリンクパイロットチャネル信号の到着時点と前記アップリンクパイロットチャネル信号の所望の到着時点との間のオフセットによって伝送時点補正值 T_2 を決定し、前記決定された伝送時点補正值 T_2 を前記 FACH 信号とともに所定のダウンリンクタイムスロット区間で伝送し、所定のアップリンクタイムスロット区間の開始時点で受信される前記 PRACH メッセージに含まれた前記予測往復伝播遅延値 T_1 及び前記伝送時点補正值 T_2 を RACH シグナリングフレームとともに RNC に伝送する。前記 RNC は、前記ランダムアクセスシグナリングフレームを受信し、前記受信されたランダムアクセスシグナリングフレームに含まれた前記予測往復伝播遅延値 T_1 及び前記伝送時点補正值 T_2 によって前記 UE と前記ノード B との間の往復伝播遅延値を決定する。

【0027】

【発明の実施の形態】

以下、本発明に従う好適な実施形態について添付図を参照しつつ詳細に説明する。下記の説明において、本発明の要旨のみを明確にする目的で、関連した公知機能または構成に関する具体的な説明は省略する。

【0028】

本発明と直接的な関連のない部分に関しては説明を省略したが、3GPP によって採択された内容、または、3GPP に提出された内容は、本発明の詳細な理解のために参照することができる。さらに、本発明は、前記 NB-TDD システムに関して説明しているが、既存の NB-TDD システムのように、本発明を適用しなければ往復伝播遅延を測定することができない全てのシステムに適用することができる。

【0029】

まず、本発明の原理及び動作は下記のようなものである。前記 NB-TDD 方式の CDMA 移動通信システムにおいて、前記 UE は、前記ノード B から DwPTS を受信し、前記受信された DwPTS 内のコードシーケンスによって前記ノード B との同期を合わせる。前記同期を合わせた後、前記 UE は、前記ノード B から受信される1番目のタイムスロット TS0 の区間に伝送される P-CCPCH の放送チャネル (Broadcast Channel: 以下、BCH と称する) 情報からノード B システム情報を検出する。前記ノード B システム情報は、前記 P-CCPCH の送信電力情報を含む。前記 UE は、伝送するデータが発生すると、前記 P-CCPCH 信号の受信電力を測定し、前記測定された受信電力を前記 P-CCPCH の送信電力情報と比較して、信号減衰量を確認する。一般的に、経路損失による信号減衰は、前記ノード B からの距離によって決定される。従って、前記 UE は、前記信号減衰量を測定することによって前記ノード B からの距離を推定すること

ができ、さらに、前記推定された距離によって往復伝播遅延値 T_1 を予測することができる。従って、前記 UE は、前記予測往復伝播遅延値 T_1 を考慮して、前記 $UpPTS$ 信号の伝送時点またはある基準時点を計算する。前記 UE は、前記予測往復伝播遅延値 T_1 を反映して決定された伝送時点で前記 $UpPTS$ 信号を前記ノード B に伝送する。この時、前記ノード B は、前記 $UpPTS$ の区間内に前記 $UpPTS$ 信号が到着するか否かを測定し、前記 $UpPTS$ 区間の開始時点と前記受信された $UpPTS$ 信号の到着時点との差（オフセット）によって伝送時点補正情報 T_2 を計算する。つまり、前記伝送時点補正情報 T_2 は、前記 $UpPTS$ 信号の予想到着時点（または、所望の到着時点）と前記 $UpPTS$ 信号の実際到着時点との間のオフセットである。前記ノード B は、前記伝送時点補正情報 T_2 を前記 $FACH$ を通して前記 UE に伝送する。前記 UE は、前記 $RACH$ メッセージを構成する時、前記予測往復伝播遅延値 T_1 を前記 $RACH$ メッセージに含める。前記伝送時点補正情報 T_2 を受信すると、前記 UE は、前記受信された伝送時点補正情報 T_2 を前記予測往復伝播遅延値 T_1 に加算して前記 $RACH$ メッセージの伝送時点を決定する。前記 UE は、前記決定された伝送時点で前記予測往復伝播遅延値 T_1 を含む前記 $RACH$ メッセージを前記ノード B に伝送する。前記ノード B は、前記 $RACH$ メッセージを前記伝送時点補正情報 T_2 とともに前記 $SRNC$ に伝送する。前記 $SRNC$ は、前記伝送時点補正情報及び前記 $RACH$ メッセージに含まれた前記予測往復伝播遅延値 T_1 を利用して往復伝播遅延値 を計算する。前記 $SRNC$ は、前記 $FACH$ 信号を前記 UE に伝送する時、前記往復伝播遅延値 を利用して前記 $FACH$ 信号の送信電力を決定し、前記決定された送信電力を前記ノード B に知らせる。前記ノード B は、前記決定された送信電力で前記 $FACH$ 信号を前記 UE に伝送することができる。

【0030】

一方、前記 UE は、自分で決定した予測往復伝播遅延値 T_1 及び前記ノード B から受信された伝送時点補正情報 T_2 を利用して前記往復伝播遅延値 を計算することもできる。前記往復伝播遅延値 は、前記予測往復伝播遅延値 T_1 と前記伝送時点補正情報 T_2 の和である。つまり、前記 UE は、前記 $P-CCPCH$ 信号を利用して前記 UE によって推定された前記往復伝播遅延値 T_1 に対して前記ノード B によって伝送された前記伝送時点補正情報 T_2 に基づいて比較的正確な往復伝播遅延値を計算することができる。

【0031】

図3は、前記 $NB-TDD$ 方式の $CDMA$ 移動通信システムにおいて、 UE とノード B との間の $DwPTS$ 信号の交換を示す図である。図3に示すように、前記 UE に受信される $DwPTS$ 信号は、前記ノード B と前記 UE との距離によって前記 $DwPTS$ の送信時点 310 から到着時点 312 までの時間遅延を有する。前記時間遅延の問題を解決するために、前記 UE は、前記ノード B との同期を合わせることによって決定された伝送時点をシフトして前記 $UpPTS$ 信号を前記ノード B に伝送する。

【0032】

前記伝送時点をシフトして前記 $UpPTS$ 信号を伝送する方法を図4に示す。図4において、前記 UE が前記ノード B との同期を合わせることによって決定された伝送時点 410 より前に T_1 の分だけシフトした時点 412 が、前記 $UpPTS$ 信号の伝送時点であることが分かる。前記予測伝播遅延値 T_1 は、前記ノード B からの前記 $P-CCPCH$ 信号の減衰量を測定することによって決定された値に基づいて予測されることができる。図4において、 T_1 は順方向シフト (forward shift) を示す。

【0033】

図4において、前記ノード B は、前記 UE から送信された前記 $UpPTS$ を所定の到着時点 414 で受信する。前記ノード B は、前記 $UpPTS$ が受信されるべき基準時点 416 で受信されなかった場合、前記伝送時点補正情報である受信オフセット（誤差） T_2 を測定する。前記受信誤差 T_2 は、前記 $UpPTS$ が到着すべき基準時点 416 と前記 $UpPTS$ が実際到着する実際到着時点 414 との間の差によって測定される。

【0034】

図5において、前記ノード B は、 $FACH$ を通して前記 T_2 に関する情報を伝送し、前

記 T 2 情報を受信すると、前記 U E は、前記 T 1 に前記 T 2 を加算して計算された時点で R A C H メッセージを伝送する。一方、前記 U E は、前記 F P A C H を通して提供された前記 T 2 に自分が予め知っていた前記 T 1 を加算して決定された伝送時点 5 1 4 で R A C H メッセージを伝送する。前記 R A C H メッセージは前記 T 1 を含む。前記 ノード B は、アップリンクタイムスロット区間において前記 U E から伝送された前記 R A C H メッセージを受信する。

【 0 0 3 5 】

図 6 は、前記 ノード B が前述した過程において測定された受信オフセット T 2 を前記 S R N C に伝送する時に使用されるメッセージ構造を示す図である。図 6 に示すメッセージ構造において、ペイロード (p a y l o a d) は前記 T 1 を含み、前記 N B - T D D システムを使用する場合、ヘッダは T 2 を含む。

10

【 0 0 3 6 】

< 表 1 > は、前記 U E から前記 ノード B に伝送される R A C H メッセージの構造を示す。

【 表 1 】

Information Element/group name	Need	Multi	Type and reference	Semantics description
Measurement result current cell				
CHOICE mode	MP			
>FDD				
>>CHOICE measurement quantity	MP			
>>>CPICH E_c/N_b			Integer(-20..0)	In dB
>>>CPICH RSCP			Integer(-115..-40)	In dBm
>>>Pathloss			Integer(-46..158)	In dB
>TDD				
>>Timeslot List	OP	1 to 14		
>>>Timeslot ISCP	MP		Timeslot ISCP info 10.3.7.90	The UE shall report the Timeslot ISCP in the same order as indicated in the cell info
>>Primary CCPCH RSCP	OP		Primary CCPCH RSCP info 10.3.7.79	
>>T1	OP		Integer(-96..0)	In Chip
以下省略				

20

30

40

【 0 0 3 7 】

< 表 1 > において、前記 N B - T D D システムの場合に、T 1 情報は R A C H シグナリングメッセージまたは無線資源制御 (R a d i o R e s o u r c e C o n t r o l) メッセージに含まれることが分かる。前記 U E は、前記 R A C H シグナリングメッセージを利

50

用して、前記 T 1 情報だけでなく前記 T 2 情報も前記 ノード B に伝送することができる。これは、前述したように、前記 UE は、前記 ノード B によって伝送される F P A C H を通して T 2 時点を知ることができるからである。前記 R A C H シグナリングメッセージを利用して前記 T 1 情報及び前記 T 2 情報を伝送する方法は、図 1 1 B 及び図 1 1 C に示す。

【 0 0 3 8 】

図 1 1 A は、前記 R A C H シグナリングメッセージを通して T 1 のみを伝送する方法を示す図である。この場合、UE から前記 T 1 を含む R A C H シグナリングメッセージを受信すると、前記 ノード B は、前記受信された R A C H シグナリングメッセージに前記 UE の T 2 を付加し、前記 UE を管理する S R N C に前記 T 2 が付加された R A C H シグナリングメッセージを伝送することで、前記 S R N C が前記 ノード B と前記 UE との間の伝播遅延値を計算することを可能にする。

10

【 0 0 3 9 】

図 1 1 B は、前記 R A C H シグナリングメッセージを通して T 1 及び T 2 を伝送する方法を示す図である。この場合、UE から前記 T 1 及び T 2 を含む R A C H シグナリングメッセージを受信すると、前記 ノード B は、別途の動作なしで前記受信された R A C H シグナリングメッセージを S R N C に伝送することで、前記 S R N C が前記 UE と前記 ノード B との間の伝播遅延値を知ることが可能にする。

【 0 0 4 0 】

より具体的に、前記 UE は、前記 R A C H シグナリングメッセージを生成する前に、前記 U p P T S の伝送時点に使用される T 1 を前記 R A C H シグナリングメッセージに貯蔵し、F P A C H を受信した後、前記受信された F P A C H に含まれた T 2 を無線資源制御部 (R a d i o R e s o u r c e C o n t r o l l e r : 以下、R R C と称する) に報告する。前記次世代移動通信において、前記 “ R R C ” とは、無線資源を管理する部分を称する。前記 R R C は、前記 F P A C H を通して受信された T 2 を前記 R A C H シグナリングメッセージに付加し、前記 T 2 が付加された R A C H シグナリングメッセージを前記 ノード B を通して前記 S R N C に伝送する。

20

【 0 0 4 1 】

図 1 1 C は、前記 UE によって T 1 及び T 2 を計算し、R A C H シグナリングメッセージを通して前記計算された値を伝送する方法を示す図である。この方法は、図 1 1 B の方法と伝送形態のみが異なり、原理は同一である。前記 UE は、前記 T 1 及び T 2 を知っているのので、前記伝播遅延値を直接に計算して前記 T 1 及び T 2 を伝送することができる。例えば、前記 UE は、前記 T 1 に前記 T 2 を加算し、前記加算された値を 2 に割ることによって、前記伝播遅延値を計算することができる。他の例として、前記 UE は、D w P T S の受信後の所定の時点で U p P T S を送信し、前記 U p P T S を受信した ノード B は、特定の ノード B の予め設定された時点 (または、所望の時点) と前記 U p P T S の到着時点との差を計算し、前記計算された差を前記 UE に前記 F P A C H を通して報告することによって、前記 UE が前記伝播遅延値を計算することを可能にする。

30

【 0 0 4 2 】

図 7 は、本発明の実施形態によって、UE 1 及び UE 2 が U p P T S 信号を伝送する時に発生する伝播遅延を示す。図 7 に示すように、前記 UE 1 及び前記 UE 2 が T 1 の分だけそれぞれの伝送時点をシフトして前記 ノード B に U p P T S 信号を伝送した場合、前記 U p P T S 信号は、相違する伝播遅延を有する。その結果、前記 UE 1 によって伝送された U p P T S 信号及び前記 UE 2 によって伝送された U p P T S 信号は、相違する到着時点で前記 ノード B に到着する。前記相違する伝播遅延は、前記 UE 1 と前記 ノード B との間の距離が前記 UE 2 と前記 ノード B との間の距離と相違するため発生する。従って、前記 UE 1 に対応する T 2 及び前記 UE 2 に対応する T 2 は、相違する値に設定される。

40

【 0 0 4 3 】

一方、図 7 において、前記 U p P T S 信号が前記 ノード B に所望の到着時点 B に到着したと仮定する場合、前記 UE 1 は、最初に前記 T 1 の伝送時点をシフトして前記 U p P T S 信号を伝送する時より、前記決定された前記 UE 1 の T 2 の分だけ前記伝送時点のシフト

50

を低減させて前記 UpPTS 信号を伝送すべきである。従って、前記ノード B は、前記決定された前記 UE 1 の T2 を前記 F P A C H を通して前記 UE 1 に報告すべきである。前記 UE 2 は、最初に前記 T1 の伝送時点をシフトして前記 UpPTS 信号を伝送する時より、前記決定された前記 UE 2 の T2 の分だけ前記伝送時点を移動させて前記 UpPTS 信号を伝送すべきである。従って、前記ノード B は、前記決定された前記 UE 2 の T2 を前記 F P A C H を通して前記 UE 2 に報告すべきである。そうすると、前記 UE 1 及び前記 UE 2 は、それぞれ自分の T2 値を適用して前記 R A C H メッセージを伝送し、前記ノード B は、前記 UE 1 及び前記 UE 2 から伝送された前記 R A C H メッセージを前記アップリンクタイムスロット区間で正確に受信することができる。

【0044】

図 8 は、図 7 における T2 の測定方法を示す。図 8 を参照すると、前記 UE 1 が T1 の分だけ前に前記伝送時点をシフトして UpPTS を伝送する場合、前記 UpPTS は、基準点（所望の到着時点）B より前に到着するか、または、基準点（所望の到着時点）B より後で到着することがあり得る。前記 UpPTS が前記基準点 B より前に前記ノード B に到着する場合、前記ノード B は、前記 UpPTS を T1 より T2 d の分だけ遅れて伝送することを前記 UE 1 に要求する。反対に、前記 UpPTS が前記基準点 B より後で前記ノード B に到着する場合、前記ノード B は、前記 UpPTS を前記 T1 より T2 c の分だけ先に伝送することを前記 UE 1 に要求する。従って、前記ノード B に到着した前記 UpPTS は、時間軸上に同期されることができる。前記 T2 は、式(1)によって決定されることができる。

【数 1】

式(1)

$$B - T2c = T_2 > 0$$

$$B - T2d = T_2 < 0$$

【0045】

図 8 において、予測到着時点（所望の到着時点）B と前記 UpPTS の実際到着時点との間の差は、前記先立った T2 d 及び前記遅れた T2 c として定義されることができる。前記 T2 d 及び前記 T2 c は、 -96 chips $T2$ 32 chips の範囲の値を有する。全体の範囲において前記先立った " -96 chips " は、図 2 の保護区間 (Guard Period: GP) を考慮して決定された値である。

【0046】

前記 UE によって測定される前記 T1 及び前記ノード B によって測定される T2 は、前記 UE と前記ノード B との間の伝播遅延値を測定するために使用されることができる。前記 UE と前記ノード B との間の伝播遅延は、式(2)によって表現されることができる。

【数 2】

式(2)

$$T_{tot} = T1 + T2$$

【0047】

式(2)に示すように、前記 T1 は、前記 UE が前記 UpPTS 信号を伝送する時、ノード B の時間軸において基準伝送時点（または、所望の伝送時点）より幾つのチップの先に

10

20

30

40

50

前記 U p P T S を伝送したのかを示す値として定義される。さらに、前記 T 2 は、前記ノード B の時間軸において基準到着時点（または、所望の到着時点）と前記 U p P T S の実際の到着時点との間の差として定義される。

【 0 0 4 8 】

従って、前記 U E によって測定できる T 1 及び前記ノード B によって測定できる T 2 を利用することによって、前記 U E と前記ノード B との間の伝播遅延値を測定することができる。

【 0 0 4 9 】

前記ノード B によって測定された前記 T 2 は、F P A C H メッセージを利用して前記 U E に伝達される。前記ノード B から前記 T 2 を受信すると、前記 U E は、R A C H メッセージの伝送時点を前記 T 2 の分だけシフトすることによって前記ノード B に前記 R A C H メッセージを伝送するので、前記ノード B は、伝播遅延が予測された前記 R A C H メッセージを受信することができるようになる。

10

【 0 0 5 0 】

図 4 に示す伝送時点のシフトを下記の数式によって表現する。例えば、T 2 を 8 ビットで表現する場合を考慮する。この時、8 ビットで表現できる値は、 $2^8 = 256$ であり、解像度 (r e s o l u t i o n) が $1/2$ である場合、前記表現できる値は式 (3) のようである。

【 数 3 】

20

式(3)

$$0 \leq N \leq 255$$

【 0 0 5 1 】

ここで、前記ノード B によって測定された前記 T 2 に基づいて決定された伝送時点のシフト可能な範囲が $-96 \text{ chips} \leq T2 \leq 32 \text{ chips}$ であると仮定する。

【 0 0 5 2 】

前記値は 8 ビットで表現されるので、その範囲は、式 (4) のように再び表現することができる。

30

【 数 4 】

式(4)

$$-192 \leq Y \leq 64$$

$$T2 = Y \times \frac{1}{2}$$

$$N = Y + 192$$

40

【 0 0 5 3 】

式 (4) から、前記 T 2 の範囲が $N/2 - 96 \leq T2 \leq (N+1)/2 - 96$ によって表現される。つまり、T 2 が -96 と $1/2 - 96$ との間の値を有する場合、N は、' 0 ' に設定され、前記値 ' 0 ' は 8 ビットを利用して伝送される。前記値 ' 0 ' を受信した U E は、前記 T 2 が -96 と $1/2 - 96$ との間の値を有することを分かる。

【 0 0 5 4 】

前記 U E は、R A C H メッセージを伝送するために、まず前記 U p P T S 信号を送信する

50

。つまり、上位階層が前記UpPTS信号を生成し、物理階層(physical layer)に前記RACHメッセージ要求を送信する時、前記UEの物理階層は、前記UpPTS信号を送信する。このように前記UpPTS信号を送信する場合、前記RACHメッセージは予め生成されていると仮定することができる。しかしながら、前記UEは、前記UpPTS信号を送信した後にT2を受信するので、前記RACHメッセージに前記T1及びT2を添加することができない。従って、前記T1及び前記T2を利用して測定された伝播遅延値を前記RACHデータを通して伝送することができない。しかしながら、前記T1は前記UpPTS信号を送信する前に前記UEによって決定されることができ値である。従って、前記T1は、前記RACHに添加されることができ。

【0055】

本発明において、前記UEによって測定できるT1及び前記ノードBによって測定できるT2を前記SRNCに伝送する方法を提供する。前述したように、前記UEによって測定できる前記T1は、前記RACHメッセージに付加されることができ。つまり、前記UEは、前記RACHメッセージを構成する前に、P-CCPCHを通して伝送される信号の経路損失による減衰量を測定することによって前記T1を計算した後、前記RACHメッセージに前記計算されたT1を<表1>に示すように添加する。前記T1は、前記RACHデータのシグナリングデータに付加されることができ。<表1>を参照すると、セルアップデート(cell update)メッセージなどの幾つかのメッセージに情報エレメント(Information Element)である“measured results on RACH”が含まれていることが分かる。前記メッセージは、前記RACHを通して前記UEから前記ノードBに伝送され、前記メッセージは、前記T1に関する情報を含む。前記ノードBは、前記RACHメッセージを前記T2に対する情報とともに前記SRNCに伝送する。

【0056】

他の方法として、前記UEは、前記RACHメッセージに前記T1情報及び前記T2情報をもとに含めて伝送することもできる。つまり、前記UEは、前記RACHメッセージを構成する前に、前記P-CCPCHを通して伝送される信号の減衰量を測定することによって前記T1を計算し、前記T1の分だけ伝送時点をシフトすることによって前記UpPTS信号を伝送する。前記ノードBは、前記UpPTS信号を受信して前記T2を計算し、前記計算されたT2をFPACHメッセージを利用して前記UEに知らせる。前記T2を受信した前記UEは、前記T1および前記T2を含むRACHメッセージを生成して前記ノードBに伝送する。前記ノードBは、前記T1及び前記T2を含むRACHメッセージを前記SRNCに伝送する。従って、前記SRNCは、前記往復伝播遅延値を分かる。

【0057】

図9は、本発明の実施形態による伝播遅延値を測定するためのUEの動作を示す。図9において、図11Aに示す方法を利用して前記伝送時点をT1の分だけシフトして前記UpPTS信号を伝送すると仮定する。

【0058】

図9を参照すると、段階901で、前記UEは、DwPTS信号を利用して前記ノードBと同期を合わせる。前記のような過程において、前記UEは、前記ノードBと時間軸上に同期される。段階901で、前記ノードBと同期を合わせた後、前記UEは、段階902で、前記ノードBによって伝送されるP-CCPCHを受信し、段階903で、前記受信されたP-CCPCHに含まれているBCHを解析する。前記BCHは、システム情報を前記ノードBから前記UEに伝送するチャンネルである。前記システム情報は、前記ノードBから伝送される前記P-CCPCHの送信電力に対する情報を含む。前記UEは、前記P-CCPCHの送信電力情報と前記P-CCPCHの受信電力を比較することによって、前記ノードBと前記UEとの間の経路損失(Path loss)を計算することができる。前記ノードBと前記UEとの間の経路損失を計算した後、前記UEは、段階904で、前記経路損失を利用して予測往復伝播遅延値T1を計算し、前記計算されたT1を利用してUpPTS信号の伝送時点を決定する。前記UEは、段階905で、前記計算され

10

20

30

40

50

たT1をRACHシグナリングメッセージに追加する。前記RACHシグナリングメッセージは、“Uplink Direct Transfer”、“Cell Update”、“Initial Direct Transfer”、“RRC Connection Re-establishment Request”、“RRC Connection Request”メッセージを含むことができ、前記T1は前記RACHメッセージに添付される。前記T1が前記RACHシグナリングメッセージに充填される例は、
 <表1>に示すようである。前記UEは、段階906で、前記決定された伝送時点で前記UpPTS信号を送信する。前記UpPTS信号を送信した後、前記UEは、段階907で、前記UpPTS信号に
 10 応答して前記ノードBから伝送されるFPACH信号を受信する。前記FPACH信号は、前記UEから伝送された前記UpPTS信号を受信することによって、段階906で前記ノードBによって計算されたT2を含む。前記FPACH信号を受信すると、前記UEは、段階908で、前記FPACH信号から分析されたT2を利用して物理ランダムアクセスチャネル(Physical Random Access Channel: 以下、PRACHと称する)の伝送時点
 20 を決定する。前記次世代移动通信標準案において、前記“PRACH”とは、RACHを伝送する物理チャネルである。前記UEは、段階909で、前記T2によって決定された伝送時点で前記T1を含むRACHシグナリングメッセージを前記PRACHを通して伝送する。

【0059】

図10は、本発明の実施形態によるNB-TDD方式のCDMA移动通信システムにおいて伝播遅延値を測定するノードBの動作を示す図である。

10

20

【0060】

図10を参照すると、段階1001で、前記ノードBは、前記UEから送信されたUpPTS信号を受信した後、段階1002で、前記UpPTS信号の実際到着時点と基準到着時点(または、所望の到着時点)との間の差によってT2を計算する。それから、前記ノードBは、段階1003で、所定のダウンリンクタイムスロット区間において前記FPACH信号を伝送する。前記FPACH信号は、前記T2を含む。段階1004で、前記ノードBは、前記FPACH信号を通して伝送された前記T2によって調節された伝送時点で前記UEから伝送されたRACHメッセージを受信する。前記受信されたRACHメッセージは、RACHシグナリングメッセージを含む。前記ノードBは、段階1005で、前記RACHシグナリングメッセージのペイロードに前記T2に対する情報を含めた後に
 30 ヘッダを付加することによって、前記RACHシグナリングフレームを構成する。前記ノードBは、段階1006で、前記T2情報が含まれた前記RACHシグナリングフレームを前記SRNCに伝送する。前記T2が
 40 含まれた前記RACHシグナリングフレームの構造の一例は、図6に示すようである。段階1006で送信された前記RACHシグナリングフレームを受信すると、前記SRNCは、前記受信されたRACHシグナリングフレームに含まれた前記T1及び前記T2を利用して、前記RACHシグナリングフレームを伝送した前記ノードBと前記RACHシグナリングメッセージを伝送したUEとの間の伝播遅延値を計算する。前記SRNCは、前記計算された伝播遅延値によって往復伝播遅延値を計算する。

30

【0061】

本発明は、前記RACHメッセージを伝送する過程を利用して往復伝播遅延値または伝播遅延値を測定する方法を提供する。しかしながら、本発明の他の実施形態において、前記UEと前記ノードBとの間の通信が専用チャネル(Dedicated Channel: 以下、DCHと称する)を通して遂行される時も、比較的
 40 に正確な往復伝播遅延値または伝播遅延値を計算することができる。この場合、前記測定される往復伝播遅延値または伝播遅延値は、前記UEの位置推定情報サービスのために使用されることができる。前記“DCH”は、使用者情報または上位階層からの制御情報を伝送するチャネルである。前記NB-TDD方式のCDMA移动通信システムにおいて前記DCHを使用して通信を遂行する場合、前記UEは、同期遅延(Synchronization Shift: 以下、SSと称する)によってアップリンクDCHの伝送時点を持続的に調節する。前記
 50

40

50

SS技術は、前記UEからのアップリンクDCHの伝送時点を調節して、前記アップリンクDCHが前記ノードBのアップリンクタイムスロットの境界に正確に一致して前記ノードBに受信されるようにする。前記ノードBにおいてアップリンクチャネルの到着時点を正確に一致させる過程を“タイムアドバンスプロシージャ (Time advance Procedure)”と称する。前記タイムアドバンスプロシージャによって調節される前記UEの伝送時点は、前記ノードBから受信されるダウンリンクチャネルの到着時点の後にアップリンクチャネルの伝送時点に適用される。前記適用される時間を“T”と称する場合、前記Tは、前記UEと前記ノードBとの間の往復伝播遅延値になる。従って、前記伝播遅延値は $T/2$ になる。前記往復伝播遅延値または伝播遅延値は、前記DCHを通して通信する過程に専用測定レポート (dedicated measurement report) を通して伝送されることができる。前記専用測定レポートは、前記SRNCに伝送される。前記DCHを通して通信する間に前記伝播遅延値または前記往復伝播遅延値を測定する方法においては、前記UEが前記伝播遅延値を直接に測定する。

【0062】

前記WB-TDD方式のCDMA移動通信システムにおいては、前記SRNCが前記伝播遅延値を測定し、前記FDD方式のCDMA移動通信システムにおいては、前記ノードBが前記伝播遅延値を測定する。しかしながら、前記NB-TDD方式のCDMA移動通信システムにおいて、前記UEは、前記タイムアドバンスプロシージャに使用される情報を利用して前記伝播遅延値または前記往復伝播遅延値を直接に測定することができる。さらに、前記SRNCは、前記UEに前記専用測定プロシージャ (dedicated measurement procedure) を利用して前記伝播遅延値または前記往復伝播遅延値を報告することを要求し、前記UEは、前記SRNCの要求によって前記伝播遅延値または前記往復伝播遅延値を計算し、前記計算された値を含むメッセージを前記専用測定レポートを通して前記SRNCに報告する。

【0063】

前述の如く、本発明の詳細な説明では具体的な実施形態を参照して詳細に説明してきたが、本発明の範囲は前記実施形態によって限られるべきではなく、本発明の範囲内で様々な変形が可能であるということは、当該技術分野における通常の知識を持つ者には明らかである。

【0064】

【発明の効果】

前述してきたように、前記計算された往復伝播遅延値は、前記SRNCが前記UEにFACHデータを伝送する時に、送信電力を決定するために利用されることができる。つまり、前記SRNCは、前記ノードBにFACHデータの送信電力を知らせることで、前記ノードBが適した送信電力で前記UEに前記FACHデータを伝送することができるようにする。さらに、前記往復伝播遅延値は、前記UEの位置を推定するために利用されることもできる。尚、本発明は、前記専用チャネルが設定された状態で、前記伝播遅延または前記往復伝播遅延値を測定する方法を提供する。

【図面の簡単な説明】

【図1】広帯域時分割デュプレキシング符号分割多重接続移動通信システムにおいて発生する往復伝播遅延を示す図である。

【図2】狭帯域時分割デュプレキシング符号分割多重接続移動通信システムにおいて使用されるサブフレームの構造を示す図である。

【図3】狭帯域時分割デュプレキシング符号分割多重接続移動通信システムにおけるダウンリンクタイムスロットの伝播遅延を示す図である。

【図4】狭帯域時分割デュプレキシング符号分割多重接続移動通信システムにおけるアップリンクタイムスロットの伝播遅延を示す図である。

【図5】狭帯域時分割デュプレキシング符号分割多重接続移動通信システムにおけるアップリンクタイムスロットの伝播遅延を補償するために順方向物理アクセスチャネルを伝送する方法を示す図である。

【図6】狭帯域時分割デュプレキシング符号分割多重接続移動通信システムにおいてノードBから無線ネットワーク制御部(SRNC)に伝送されるランダムアクセスチャネル(RACH)のフレーム構造を示す図である。

【図7】狭帯域時分割デュプレキシング符号分割多重接続移動通信システムにおいて2つのUEから伝送されたアップリンクパイロットタイムスロット(UPTS)の伝播遅延を示す図である。

【図8】狭帯域時分割デュプレキシング符号分割多重接続移動通信システムにおけるノードBにおいて到着時間オフセットを測定する方法を示す図である。

【図9】本発明の実施形態による狭帯域時分割デュプレキシング符号分割多重接続移動通信システムにおいて伝播遅延を測定するためのUEの動作を示す図である。

【図10】本発明の実施形態による狭帯域時分割デュプレキシング符号分割多重接続移動通信システムにおいて伝播遅延を測定するためのノードBの動作を示す図である。

【図11A】本発明の実施形態によるRACHシグナリングメッセージを伝送する方法を示す図である。

【図11B】本発明の実施形態によるRACHシグナリングメッセージを伝送する方法を示す図である。

【図11C】本発明の実施形態によるRACHシグナリングメッセージを伝送する方法を示す図である。

【符号の説明】

T1 予測往復伝播遅延値

T2 伝送時点補正情報

往復伝播遅延値

UE 移動端末

10

20

【国際公開パンフレット】

(12) INTERNATIONAL APPLICATION PUBLISHED UNDER THE PATENT COOPERATION TREATY (PCT)

(19) World Intellectual Property Organization
International Bureau



(43) International Publication Date
23 May 2002 (23.05.2002)

PCT

(10) International Publication Number
WO 02/41540 A1

- (51) International Patent Classification: **H04B 17/00**
- (21) International Application Number: PCT/KR01/01971
- (22) International Filing Date: 17 November 2001 (17.11.2001)
- (25) Filing Language: English
- (26) Publication Language: English
- (30) Priority Data:

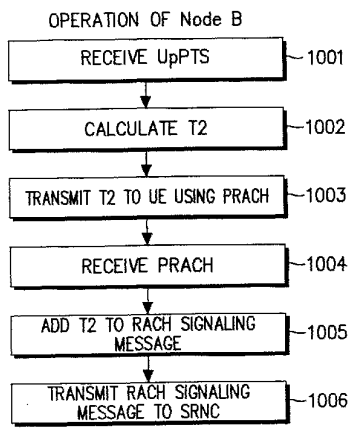
2000/69372	17 November 2000 (17.11.2000)	KR
2000/71084	23 November 2000 (23.11.2000)	KR
2000/70556	24 November 2000 (24.11.2000)	KR
- (71) Applicant: SAMSUNG ELECTRONICS CO., LTD
[KR/KR]; 416, Maetan-dong, Paldal-gu., Suwon-shi,
442-370 Kyungki-do (KR).
- (72) Inventors: LEE, Hyun-Woo; Byeoksan APT.#806-901.,
Kwonson-dong, Kwonson-gu, Suwon-shi, 441-390
Kyonggi-do (KR). CHOI, Sung-Ho; 306-302, Nien-
timaenul, Chongja-dong., Puntang-gu., Songnam-shi,
463-010 Kyonggi-do (KR). LEE, Kook-Heui; Saok-
wang APT.#103-202, Chonggolmaenul, Kungok-dong,
Puntang-gu., Songnam-shi, 463-480 Kyonggi-do (KR).
KWAK, Byung-Jae; 68, Puntang-dong, Puntang-gu.,
Songnam-shi, 463-030 Kyonggi-do (KR). KIM,
Do-Young; Haecheong APT.#Na-201., Samsong-dong,
Kangnam-gu, 135-090 Seoul (KR). HWANG, Sung-Oh;
Byeoksan APT.#203-501, Suji-up., Yongin-shi, 449-840
Kyonggi-do (KR).
- (74) Agent: LEE, Keon-Joo; Miwa Bldg. 110-2., Myon-
gryun-dong 4-ga., Chongro-gu, 110-524 Seoul (KR).
- (81) Designated States (national): AU, CA, CN, JP, RU.

[Continued on next page]

(54) Title: APPARATUS AND METHOD FOR MEASURING PROPAGATION DELAY IN AN NB-TDD CDMA MOBILE COMMUNICATION SYSTEM



WO 02/41540 A1



(57) Abstract: Disclosed is a method for measuring a propagation delay value of a frame transmitted by a UE to a Node B in a TDD mobile communication system. The UE acquires synchronization with the Node B based on a downlink pilot channel signal transmitted in a period of a downlink pilot time slot, and determines an estimated round trip delay value T1 by comparing transmission power of a physical common channel signal in a first time slot with reception power of the physical common channel signal.

WO 02/41540 A1



Published:
— with international search report

For two-letter codes and other abbreviations, refer to the "Guidance Notes on Codes and Abbreviations" appearing at the beginning of each regular issue of the PCT Gazette.

**APPARATUS AND METHOD FOR MEASURING PROPAGATION
DELAY IN AN NB-TDD CDMA MOBILE COMMUNICATION SYSTEM**

5 **BACKGROUND OF THE INVENTION**

1. Field of the Invention

 The present invention relates generally to an apparatus and method for
measuring propagation delay in a CDMA (Code Division Multiple Access)
mobile communication system, and in particular, to an apparatus and method for
measuring propagation delay in an NB-TDD (Narrow Band Time Division
Duplexing) CDMA mobile communication system.

2. Description of the Related Art

 In general, a CDMA mobile communication system is classified into an
FDD (Frequency Division Duplexing) system for separating a transmission
frequency and a reception frequency on a frequency division basis, and a TDD
(Time Division Duplexing) system for separating a downlink channel and an
uplink channel on a time division basis. Specifically, the TDD system designates
a plurality of slots constituting one frame as slots for the downlink channel and
slots for the uplink channel. Further, the TDD system is divided into a WB-TDD
(Wide Band Time Division Duplexing) system and an NB-TDD (Narrow Band
Time Division Duplexing) system. The WB-TDD system and the FDD system
support a chip rate of 3.84Mcps, while the NB-TDD system supports a chip rate
of 1.28Mcps.

 Presently, the ongoing international standardization work on future
mobile communication systems is separately carried out for an asynchronous
system represented by a UMTS (Universal Mobile Telecommunication System)
system and a synchronous system represented by a cdma-2000 system. The
technologies for the WB-TDD system and the NB-TDD system of the
asynchronous system are defined by the 3GPP (3rd Generation Partnership
Project).

 Meanwhile, in the CDMA mobile communication system, propagation
delay occurs inevitably during data communication between a Node B and a UE
(User Equipment) through a radio channel. In the WB-TDD and FDD CDMA
mobile communication systems, the propagation delay is measured depending on

the time when a random access channel (RACH) transmitted by the UE arrives at the Node B.

5 FIG. 1 illustrates an example of round trip delay occurred in a WB-TDD CDMA mobile communication system. In FIG. 1, a UTRAN (UMTS Terrestrial Radio Access Network), a term used in the asynchronous CDMA mobile communication system, includes the Node B, a serving radio network controller (SRNC) for controlling a plurality of Node Bs, and a core network (CN).

10 A method for measuring a round trip delay value will be described with reference to FIG. 1. The Node B in the UTRAN can measure the round trip delay value by calculating a difference between a reference arrival time A of an RACH and an actual arrival time B of the RACH. The RACH is transmitted by the UE at a specified time. The reference arrival time A refers to an expected arrival time of the RACH determined by the Node B considering expected propagation delay, 15 while the actual arrival time B refers to a time when the RACH is actually received at the Node B. Further, the round trip delay value refers to a time period between a time when the Node B transmitted data to the UE and a time when the Node B receives a response to the transmitted data from the UE. The Node B 20 previously recognizes the reference arrival time A. Thus, once the actual arrival time B is measured, the Node B can calculate the round trip delay value. That is, the Node B can calculate a desired actual round trip delay value by applying an offset (or error) between the reference arrival time A and the actual arrival time B to an expected round trip delay value. In addition, it is possible to calculate an 25 actual propagation delay value from the UE to the Node B by halving the calculated round trip delay value.

The propagation delay value measured by the Node B is transmitted to an SRNC servicing the UE, through a frame protocol message. The frame 30 protocol message is a message exchanged between the Node B and the SRNC. The Node B transmits the measured propagation delay value to the SRNC by adding it to a header of the frame protocol message.

35 In the FDD CDM mobile communication system, the propagation delay value measured by the Node B and then transmitted to the SRNC is used when the SRNC sets transmission power required for data transmission through a forward access channel (FACH). In addition, the propagation delay value can also be used for a location service (LCS) for estimating a current location of the

WO 02/41540

PCT/KR01/01971

- 3 -

5 UE. That is, the SRNC determines a preferred transmission power level to be used when transmitting an FACH frame to the UE, by analyzing the propagation delay value received from the Node B, and transmits the determined power level to the Node B. The Node B then transmits the FACH to the UE using the preferred transmission power level transmitted from the SRNC. As the propagation delay value measured by the Node B is higher, the transmission power level at which the Node B transmits the FACH frame is also higher.

10 As stated above, the WB-TDD and FDD CDMA mobile communication systems use the RACH provided from the UE to the Node B in order to measure the propagation delay. The UE transmits the RACH at a time slot of the Node B or a start point of the frame. To this end, the UE should be synchronized with the Node B. The UE is synchronized with the Node B using a primary common control physical channel (P-CCPCH) from the Node B.

15 However, in the NB-TDD CDMA mobile communication system, since the UE transmits the RACH by expecting a transmission point of an uplink time slot, it is not possible to measure the propagation delay value with the above-stated propagation delay measurement method.

20 The reason why the NB-TDD CDMA mobile communication system cannot measure the propagation delay time will be described below in detail. In the NB-TDD CDMA mobile communication system, one frame is referred to as a "radio frame" and the radio frame has a length of 10ms. The radio frame is divided into two sub-frames each having a length of 5ms, and each of the sub-frames is comprised of 7 time slots.

25 FIG. 2 illustrates a structure of a sub-frame typically used in the NB-TDD CDMA mobile communication system. Referring to FIG. 2, the sub-frame is comprised of 7 normal time slots TS0-TS6, a downlink pilot time slot (DwPTS), and an uplink pilot time slot (UpPTS). In FIG. 2, the time slots represented by downward arrows are downlink time slots transmitted from the Node B to the UE, while the time slots represented by upward arrows are uplink time slots transmitted from the UE to the Node B. The DwPTS is a time period where the Node B transmits a predetermined code sequence through a downlink pilot channel signal so that the UE may be synchronized with the Node B. The UpPTS is a time period where the UE transmits a specific code sequence to the Node B for, e.g., power control through an uplink pilot channel signal. In FIG. 2,

WO 02/41540

PCT/KR01/01971

- 4 -

a boundary between the downlink time slot and the uplink time slot is called a "switching point". Among the time slots, a first time slot TS0 is fixedly used as the downlink time slot, and the first time slot TS0 is used to transmit a P-CCPCH signal.

5

A reason why the NB-TDD CDMA mobile communication system supporting the radio frame structure shown in FIG. 2 cannot exactly measure the propagation delay will be described below.

10

The NB-TDD CDMA mobile communication system, as stated above, separates the downlink and the uplink in a time slot unit. Therefore, the UE should transmit an uplink signal such that the uplink signal does not interfere with a downlink signal in the Node B. That is, the UE transmits the uplink signal such that the Node B can receive the uplink signal in the uplink time slot period shown in FIG. 2. Therefore, the NB-TDD CDMA mobile communication system indispensably requires an operation of synchronizing the UE with the Node B. The UE is synchronized with the Node B using a downlink pilot time slot (DwPTS) received from the Node B.

15

20

After being synchronized with the Node B, the UE receives a primary common control physical channel (P-CCPCH) transmitted from the Node B, and estimates an approximate distance from the Node B by measuring a path loss of the P-CCPCH depending on its attenuation. After estimating the distance from the Node B, the UE shifts a transmission point of an UpPTS signal such that the Node B can receive the UpPTS signal at a start boundary point of the UpPTS.

25

The reason why the Node B should receive the UpPTS signal from the UE at the start boundary point of the UpPTS is to prevent interference due to overlapping of a downlink signal and an uplink signal in the NB-TDD system, which separates the downlink signal and the uplink signal on a time division basis.

30

The Node B receives the UpPTS signal and determines whether the UpPTS signal has been received exactly at its UpPTS period. If there exists a time difference, the Node B transmits a transmission point correcting value to the UE through a forward physical access channel (FPACH). Upon receiving the transmission point correcting value through the FPACH, the UE transmits an RACH message at a transmission point corrected based on the received

35

WO 02/41540

PCT/KR01/01971

- 5 -

transmission point correcting value. That is, the UE determines a transmission point of the RACH message using the transmission point correcting value received through the FPACH. Therefore, the RACH message can arrive at the Node B at a preferred time.

5

However, the Node B cannot recognize how much the UE has shifted the transmission point of the UpPTS signal in order that the Node B can receive the UpPTS signal at the UpPTS start boundary point. Therefore, the Node B cannot measure propagation delay of the UpPTS signal from the UE, and thus cannot properly control transmission power according to the propagation delay.

10

SUMMARY OF THE INVENTION

It is, therefore, an object of the present invention to provide an apparatus and method for measuring propagation delay between a Node B and a UE in an NB-TDD CDMA mobile communication system.

15

It is another object of the present invention to provide an apparatus and method for measuring a propagation delay value by a Node B and transmitting the measured propagation delay value to an SRNC in an NB-TDD CDMA mobile communication system.

20

It is further another object of the present invention to provide an apparatus and method for measuring a propagation delay value by a UE and transmitting the measured propagation delay value to an SRNC in an NB-TDD CDMA mobile communication system.

25

It is yet another object of the present invention to provide an apparatus and method for measuring a propagation delay value using an RACH in an NB-TDD CDMA mobile communication system.

30

It is still another object of the present invention to provide an apparatus and method for measuring a propagation delay value using a dedicated channel in an NB-TDD CDMA mobile communication system.

35

According to a first aspect of the present invention, there is provided a method for measuring a propagation delay value of a frame transmitted by a UE

WO 02/41540

PCT/KR01/01971

- 6 -

to a Node B in a TDD mobile communication system including a frame divided into two sub-frames, each of the sub-frames having a plurality of time slots and also having a downlink pilot time slot and an uplink pilot time slot, both intervening between a first time slot and a second time slot of the plurality of time slots, the system also including the Node B for transmitting the frame fixed to a time axis, and the UE for transmitting a propagation-delayed frame in response to the frame received from the Node B. The method comprises acquiring synchronization with the Node B based on a downlink pilot channel signal transmitted in a period of the downlink pilot time slot, and determining an estimated round trip delay value T1 by comparing transmission power of a physical common channel signal in the first time slot with reception power of the physical common channel signal; transmitting an uplink pilot channel signal by applying the estimated round trip delay value T1 to a desired transmission point of the uplink pilot channel signal; receiving a transmission point correcting value T2 through a forward physical access channel (FPACH) signal transmitted from the Node B in a period of one downlink time slot among the time slots; and transmitting a physical random access channel (PRACH) message with the estimated round trip delay value T1 at a transmission point determined based on the transmission point correcting value T2 and the estimated round trip delay value T1, so that the PRACH message is received at the Node B at a start point of a period of one uplink time slot among the time slots.

According to a second aspect of the present invention, there is provided a method for measuring a propagation delay value of a frame transmitted by a Node B to a UE in a TDD mobile communication system including a frame divided into two sub-frames, each of the sub-frames having a plurality of downlink time slots, a plurality of uplink time slots, a downlink pilot time slot and an uplink pilot time slot, and further including the Node B for transmitting a physical common channel signal in a period of a first time slot of the sub-frame, and the UE for calculating an estimated round trip delay value T1 based on a path loss of the physical common channel signal and transmitting the uplink pilot time slot by applying the calculated round trip delay value T1. The method comprises determining a transmission point correcting value T2 based on an offset between an arrival point of an uplink pilot channel signal and a desired arrival point of the uplink pilot channel signal in the uplink pilot time slot period; including the transmission point correcting value T2 in a forward physical access channel (FPACH) signal, and transmitting the FPACH signal to the UE in a period of one downlink time slot among the downlink time slots; receiving a physical random

WO 02/41540

PCT/KR01/01971

- 7 -

access channel (PRACH) message with the estimated round trip delay value T1, transmitted from the UE at a transmission point determined based on the transmission point correcting value T2 and the estimated round trip delay value T1, in a period of one uplink time slot among the uplink time slots; and transmitting the estimated round trip delay value T1 and the transmission point correcting value T2 included in the PRACH message to a radio network controller (RNC) to which the UE belongs, along with an RACH signaling message, so that the RNC determines a round trip delay between the Node B and the UE.

10 According to a third aspect of the present invention, there is provided an apparatus for measuring a propagation delay value of a frame exchanged between a UE and a Node B in a TDD mobile communication system including a frame divided into two sub-frames, each of the sub-frames having a plurality of downlink time slots, a plurality of uplink time slots, a downlink pilot time slot and an uplink pilot time slot, and further including the Node B for transmitting a physical common channel signal in a period of a first time slot of the sub-frame, and the UE for calculating an estimated round trip delay value T1 based on a path loss of the physical common channel signal and transmitting the uplink pilot time slot by applying the calculated round trip delay value T1. The UE transmits an uplink pilot channel signal at a transmission point determined by applying the estimated round trip delay value T1 to a desired transmission point of the uplink pilot channel signal, and transmits a physical random access channel (PRACH) message with the estimated round trip value T1 at a transmission point determined based on the transmission point correcting value T2 and the estimated round trip delay value T1 received through a forward physical access channel (FPACH) signal. The Node B determines the transmission point correcting value T2 based on an offset between an arrival point of the uplink pilot channel signal and a desired arrival point of the uplink pilot channel signal, transmits the determined transmission point correcting value T2 along with the FPACH signal in a given downlink time slot period, and transmits the estimated round trip delay value T1 and the transmission point correcting value T2 included in the PRACH message received at a start point of a given uplink time slot period to a radio network controller (RNC) along with an RACH signaling frame. The RNC receives the RACH signaling frame and determines a round trip delay between the UE and the Node B based on the estimated round trip delay value T1 and the transmission point correcting value T2 included in the received RACH signaling frame.

BRIEF DESCRIPTION OF THE DRAWINGS

5 The above and other objects, features and advantages of the present invention will become more apparent from the following detailed description when taken in conjunction with the accompanying drawings in which:

FIG. 1 illustrates round trip delay occurred in a WB-TDD CDMA mobile communication system;

10 FIG. 2 illustrates a structure of a sub-frame used in an NB-TDD CDMA mobile communication system;

FIG. 3 illustrates propagation delay of a downlink time slot in the NB-TDD CDMA mobile communication system;

FIG. 4 illustrates propagation delay of an uplink time slot in the NB-TDD CDMA mobile communication system;

15 FIG. 5 illustrates a method for transmitting a forward physical access channel (FPACH) to compensate for propagation delay of the uplink time slot in the NB-TDD CDMA mobile communication system;

20 FIG. 6 illustrates a frame format of a random access channel (RACH) transmitted from a Node B to a serving radio network controller (SRNC) in the NB-TDD CDMA mobile communication system;

FIG. 7 illustrates propagation delay of uplink pilot time slots (UpPTSs) transmitted from two UEs in the NB-TDD CDMA mobile communication system;

25 FIG. 8 illustrates a method for measuring an arrival time offset at the Node B in the NB-TDD CDMA mobile communication system;

FIG. 9 illustrates an operation of the UE for measuring a propagation delay value in the NB-TDD CDMA mobile communication system according to an embodiment of the present invention;

30 FIG. 10 illustrates an operation of the Node B for measuring a propagation delay value in the NB-TDD CDMA mobile communication system according to an embodiment of the present invention; and

FIGS. 11A to 11C illustrate various methods of transmitting an RACH signaling message according to an embodiment of the present invention.

35 DETAILED DESCRIPTION OF THE PREFERRED EMBODIMENT

A preferred embodiment of the present invention will be described herein below with reference to the accompanying drawings. In the following description,

well-known functions or constructions are not described in detail since they would obscure the invention in unnecessary detail.

5 Although a description of the contents not directly related to the present invention has not been provided, reference can be made to the contents adopted by or submitted to the 3GPP for better understanding of the invention. In addition, although the present invention will be described with reference to the NB-TDD system, it is also possible to apply the present invention to any system which cannot measure a round trip delay, like the existing NB-TDD system.

10 First, a principle and operation of the present invention will be described below. In the NB-TDD CDMA mobile communication system, the UE receives a DwPTS from the Node B, and then performs synchronization with the Node B depending on a code sequence in the received DwPTS. After the synchronization, 15 the UE detects Node B system information from broadcast channel (BCH) information of the P-CCPCH transmitted in a period of the first time slot TS0 received from the Node B. The Node B system information includes transmission power information of the P-CCPCH. When there is data to transmit, the UE measures reception power of the P-CCPCH signal, and detects a signal 20 attenuation by comparing the measured reception power with the transmission power information of the P-CCPCH. In general, the signal attenuation caused by a path loss depends upon the distance from the Node B. Thus, the UE can estimate the distance from the Node B by measuring the signal attenuation, and can also estimate a round trip delay value T1 depending on the estimated distance. 25 Therefore, the UE calculates a transmission point of the UpPTS signal or a certain reference time point considering the estimated round trip delay value T1. The UE transmits the UpPTS signal to the Node B at a transmission point determined by reflecting the estimated round trip delay value T1. At this moment, the Node B determines whether the UpPTS signal arrives in the UpPTS period, 30 and calculates transmission point correcting information T2 based on a difference (offset) between a start point of the UpPTS period and an arrival point of the received UpPTS signal. That is, the transmission point correcting information T2 is an offset between the expected (or desired) arrival point of the UpPTS signal and the actual arrival point of the UpPTS signal. The Node B transmits the transmission point correcting information T2 to the UE through the FACH. 35 When constructing the RACH message, the UE includes the estimated round trip delay value T1 in the RACH message. Upon receiving the transmission point correcting information T2, the UE determines a transmission point of the RACH

WO 02/41540

PCT/KR01/01971

- 10 -

message by adding the received transmission point correcting information T2 to the estimated round trip delay value T1. The UE transmits the RACH message including the estimated round trip delay value T1 to the Node B at the determined transmission point. The Node B transmits the RACH message to the SRNC along with the transmission point correcting information T2. The SRNC calculates a round trip delay value τ using the transmission point correcting information T2 and the estimated round trip delay value T1 included in the RACH message. When transmitting an FACH signal to the UE, the SRNC determines transmission power of the FACH signal using the round trip delay value τ , and then informs the Node B of the determined transmission power. The Node B can transmit the FACH signal to the UE at the determined transmission power.

Alternatively, the UE can also calculate the round trip delay value τ using a round trip delay value T1 estimated by the UE itself and the transmission point correcting information T2 received from the Node B. The round trip delay value τ is the sum of the estimated round trip delay value T1 and the transmission point correcting information T2. That is, the UE can calculate a relatively correct round trip delay value based on the transmission point correcting information T2 transmitted by the Node B with respect to the round trip delay value T1 estimated by the UE using the P-CCPCH signal.

FIG. 3 illustrates exchange of a DwPTS signal between a UE and a Node B in an NB-TDD CDMA mobile communication system. As illustrated in FIG. 3, a DwPTS signal received at the UE has a time delay from a transmission point 310 of the DwPTS till an arrival point 312 of the DwPTS according to the distance between the Node B and the UE. In order to resolve the time delay problem, the UE transmits an UpPTS signal to the Node B by shifting the transmission point determined by performing synchronization with the Node B.

A method for transmitting the UpPTS signal by shifting the transmission point is illustrated in FIG. 4. It can be understood from FIG. 4 that the UE shifts a transmission point 412 of the UpPTS signal, T1 ahead of a transmission point 410 determined by performing synchronization with the Node B. The estimated round trip delay value T1 can be estimated based on a value determined by measuring an attenuation of the P-CCPCH signal from the Node B. In FIG. 4, T1 represents a forward shift.

WO 02/41540

PCT/KR01/01971

- 11 -

In FIG. 4, the Node B receives the UpPTS transmitted from the UE at a given arrival point 414. Upon failure to receive the UpPTS at a reference point 416 where it should be received, the Node B measures an arrival offset (error) T2, the transmission point correcting information. The arrival offset T2 is measured based on a difference between the reference point 416 where the UpPTS should arrive and an actual arrival point 414 where the UpPTS actually arrives.

In FIG. 5, the Node B transmits information on the T2 through an FPACH, and upon receiving the T2 information, the UE transmits a RACH message at a time point calculated by adding the T2 to the T1. Meanwhile, the UE transmits a RACH message at a transmission point 514 determined by adding the T1 previously known by the UE itself to the T2 provided through the FPACH. The RACH message includes the T1. The Node B receives the RACH message transmitted from the UE in an uplink time slot period.

FIG. 6 illustrates a message format used when the Node B transmits the arrival offset T2 measured in the above process to the SRNC. In the message format shown in FIG. 6, a payload includes the T1 and a header includes the T2 in the NB-TDD system.

Shown in Table 1 is a format of the RACH message transmitted from the UE to the Node B.

Table 1

Information Element/group name	Need	Multi	Type and reference	Semantics description
Measurement result current cell				
CHOICE mode	MP			
>FDD				
>>CHOICE measurement quantity	MP			
>>>CPICH E_c/N_0			Integer (-20..0)	In dB
>>>CPICH RSCP			Integer (-115..-40)	In dBm
>>>Pathloss			Integer (-46..158)	In dB
>TDD				
>>Timeslot List	OP	1 to 4		
>>>Timeslot ISCP	MP		Timeslot ISCP info	The UE shall report the

			10.3.7.90	Timeslot ISCP in the same order as indicated in the cell info
>>Primary CCPCH RSCP	OP		Primary CCPCH RSCP info 10.3.7.79	
>>T1	OP		Integer (-96..0)	In Chip
The Rest Omitted				

5 It is noted from Table 1 that T1 information is included in an RACH signaling message or a radio resource control (RRC) message in the NB-TDD system. The UE can transmit not only the T1 information but also the T2 information to the Node B, using the RACH signaling message. This is because the UE, as stated above, can recognize the point T2 through the FPACH transmitted by the Node B. A method for transmitting the T1 information and the T2 information using the RACH signaling message is illustrated FIGs. 11B and 11C.

10 FIG. 11A illustrates a method for transmitting only T1 through the RACH signaling message. In this case, upon receiving an RACH signaling message including the T1 from a UE, a Node B adds T2 of the UE to the received RACH signaling message, and then transmits the T2-added RACH signaling message to an SRNC managing the UE, thus allowing the SRNC to calculate a propagation delay value between the Node B and the UE.

15 FIG. 11B illustrates a method for transmitting T1 and T2 through the RACH signaling message. In this case, upon receiving an RACH signaling message including the T1 and the T2 from a UE, a Node B transmits the received RACH signaling message to an SRNC without a separate operation, thus allowing the SRNC to recognize a propagation delay value between the UE and the Node B.

20 More specifically, the UE stores T1 (to be used at a transmission point of the UpPTS before generation of an RACH signaling message) in the RACH signaling message, receives an FPACH, and then reports T2 included in the received FPACH to a radio resource controller (RRC). The term "RRC" used in the future mobile communication system refers to a part managing radio resources. The RRC adds the T2 received through the FPACH to the RACH signaling message, and then transmits the T2-added RACH signaling message to

WO 02/41540

PCT/KR01/01971

- 13 -

the SRNC through the Node B.

FIG. 11C illustrates a method for calculating T1 and T2 by the UE and then transmitting the calculated values through an RACH signaling message. This method is identical in principle to the method of FIG. 11B except for the transmission format. Since the UE recognizes the T1 and T2 values, the UE can personally calculate the propagation delay value while transmitting the T1 and the T2. For example, the UE can calculate the propagation delay value by adding the T2 to the T1 and then dividing the added value by 2. As another example, the UE transmits an UpPTS at a given time point after reception of a DwPTS, and upon receipt of the UpPTS, the Node B calculates a difference between a predetermined (or desired) time point for a specific Node B and an arrival point of the UpPTS, and reports the calculated difference to the UE through the FPACH, thus allowing the UE to calculate the propagation delay value.

FIG. 7 illustrates propagation delay occurring when a UE1 and a UE2 transmit UpPTS signals, according to an embodiment of the present invention. As illustrated in FIG. 7, if the UE1 and the UE2 transmitted UpPTS signals to a Node B at their transmission points both shifted by T1, then the UpPTS signals undergo different propagation delays. As a result, the UpPTS signal transmitted by the UE1 and the UpPTS signal transmitted by the UE2 will arrive at the Node B at different arrival points. Occurrence of the different propagation delays is caused because a distance between the UE1 and the Node B is different from a distance between the UE2 and the Node B. Therefore, T2 for the UE1 and T2 for the UE2 are set to difference values.

Meanwhile, if it is assumed in FIG. 7 that the UpPTS signal is to arrive at the Node B at a desired arrival point B, then the UE1 should transmit the UpPTS signal by reducing a shift in the transmission point by the determined T2 of the UE1 than when first transmitting the UpPTS signal by shifting the transmission point of the T1. Therefore, the Node B should report the determined T2 of the UE1 to the UE1 through the FPACH. The UE2 should transmit the UpPTS signal by shifting the transmission point by the determined T2 of the UE2 than when first transmitting the UpPTS signal by shifting the transmission point of the T1. Therefore, the Node B should report the determined T2 of the UE2 to the UE2 through the FPACH. Then, the UE1 and the UE2 transmit the RACH messages by applying their T2 values, and the Node B can correctly receive the RACH messages transmitted from the UE1 and UE2 in the uplink time slot

WO 02/41540

PCT/KR01/01971

- 14 -

period.

FIG. 8 illustrates a method for measuring T2 of FIG. 7. Referring to FIG. 8, if the UE1 transmits an UpPTS by shifting the transmission point by T1, the UpPTS may arrive at the Node B ahead of or behind a reference point (or desired arrival point) B. If the UpPTS arrives at the Node B ahead of the reference point B, the Node B will request the UE1 to transmit the UpPTS at a time T2d behind T1. Otherwise, if the UpPTS arrives at the Node B behind the reference point B, the Node B will request the UE1 to transmit the UpPTS at a time T2c ahead of the T1. Therefore, the UpPTS arrived at the Node B can be time-aligned. The T2 can be determined by

Equation (1)

$$B - T2c = T_2 > 0$$

$$B - T2d = T_2 < 0$$

In FIG. 8, a difference value between the expected (or desired) arrival point B and the actual arrival point of the UpPTS can be defined as the advanced T2d and the retarded T2c. The T2d and the T2c can have a value of $-96 \text{ chips} \leq T2 \leq 32 \text{ chips}$. The advanced "96 chips" in the whole range is determined considering a guard period (GP) of FIG. 2.

The T1 measured by the UE and the T2 measured by the Node B can be used in measuring a propagation delay value between the UE and the Node B. The propagation delay between the UE and the Node B can be represented by

Equation (2)

$$T_{tot} = T1 + T2$$

As shown in Equation (2), the T1 is defined as a value representing how many chips ahead of a reference (or desired) transmission point the UE has transmitted the UpPTS signal on a Node B's time axis. Further, the T2 is defined as a difference between a reference (or desired) arrival point and an actual arrival point of the UpPTS on the Node B's time axis.

Therefore, it is possible to measure a propagation delay value between the UE and the Node B by using the T1 measurable by the UE and the T2 measurable by the Node B.

WO 02/41540

PCT/KR01/01971

- 15 -

The T2 measured by the Node B is transmitted to the UE using an FPACH message. Upon receiving the T2 from the Node B, the UE transmits an RACH message to the Node B by shifting the transmission point of the RACH message by the T2, so that the Node B can receive the RACH message which is expected to undergo propagation delay.

A shift in the transmission point shown in FIG. 4 will be represented by the following formula. For example, it will be considered that T2 is expressed with 8 bits. Then, a value that can be expressed with 8 bits is $2^8=256$, and if a resolution is $1/2$, the expressed value is represented by

$$\begin{aligned} &\text{Equation (3)} \\ &0 \leq N \leq 255 \end{aligned}$$

It will be assumed herein that a range where it is possible to shift the transmission point determined based on the T2 measured by the Node B is $-96 \text{ chips} \leq T2 \leq 32 \text{ chips}$.

Since the value is expressed with 8 bits, the range can be re-written as follows.

$$\begin{aligned} &\text{Equation (4)} \\ &-192 \leq Y \leq 64 \\ &T2 = Y \times \frac{1}{2} \\ &N = Y + 192 \end{aligned}$$

From Equation (4), a range of the T2 is represented by $\frac{N}{2} - 96 \leq T2 \leq \frac{(N+1)}{2} - 96$. That is, if T2 has a value between -96 and $\frac{1}{2} - 96$, N is set to '0', and the value '0' is transmitted using 8 bits. Upon receiving the value '0', the UE can recognize that the T2 has a value between -96 and $\frac{1}{2} - 96$.

To transmit RACH message, the UE first transmits the UpPTS signal. That is, when an upper layer creates the UpPTS signal and transmits an RACH message request to a physical layer, the physical layer of the UE transmits the

UpPTS signal. When the UpPTS signal is transmitted in this manner, it can be assumed that the RACH message has been previously created. However, since the UE receives the T2 after transmitting the UpPTS signal, the UE cannot add the T1 and the T2 to the RACH message. Therefore, it is not possible to transmit the propagation delay value measured using the T1 and the T2, through the RACH message. However, the T1 is a value that can be determined by the UE before transmitting the UpPTS signal. Therefore, the T1 can be added to the RACH.

10 The present invention provides a method for transmitting T1 measurable by the UE and T2 measurable by the Node B to the SRNC. The T1 measurable by the UE, as stated above, can be added to the RACH message. That is, the UE calculates the T1 by measuring an attenuation caused by a path loss of a signal transmitted over the P-CCPCH before constructing the RACH message, and then adds the calculated T1 to the RACH message as shown in Table 1. The T1 can be added to signaling data of the RACH message. It is noted from Table 1 that an information element "measured results on RACH" is included in several messages such as a cell update message. The messages are transmitted from the UE to the Node B through the RACH, and the messages include the T1 information. The Node B transmits the RACH message to the SRNC along with the T2 information.

25 As another method, the UE can also transmit the RACH message along with both the T1 information and the T2 information. That is, the UE calculates the T1 by measuring an attenuation of a signal transmitted over the P-CCPCH before constructing the RACH message, and then transmits the UpPTS signal by shifting the transmission point by the T1. The Node B then calculates the T2 by receiving the UpPTS signal, and informs the UE of the calculated T2 using an FPACH message. Upon receiving the T2, the UE creates an RACH message including the T1 and the T2, and transmits the created RACH message to the Node B. The Node B transmits the RACH message with the T1 and the T2 to the SRNC. Thus, the SRNC can recognize the round trip delay value.

35 FIG. 9 illustrates an operation of the UE for measuring a propagation delay value according to an embodiment of the present invention. It is assumed in FIG. 9 that the UE transmits the UpPTS signal by shifting the transmission point by T1 using the method shown in FIG. 11A.

Referring to FIG. 9, in step 901, the UE is synchronized with the Node B using a DwPTS signal. In this process, the UE is time-aligned with the Node B. After being synchronized with the Node B in the step 901, the UE receives P-CCPCH transmitted by the Node B in step 902, and then analyzes BCH included in the received P-CCPCH in step 903. The BCH is a channel for transmitting system information from the Node B to the UE. The system information includes information on transmission power of the P-CCPCH transmitted from the Node B. The UE can calculate a path loss between the Node B to the UE by comparing the transmission power information of the P-CCPCH with reception power of the P-CCPCH. After calculating the path loss between the Node B and the UE, the UE calculates an estimated round trip delay value T1 using the path loss and determines a transmission point of an UpPTS signal using the calculated T1, in step 904. The UE adds the calculated T1 to an RACH signaling message in step 905. The RACH signaling message may include Uplink Direct Transfer, Cell Update, Initial Direct Transfer, RRC Connection Re-establishment Request, and RRC Connection Request messages, and the T1 is added to the RACH message. The RACH signaling message filled with the T1 is shown Table 1, by way of example. The UE transmits the UpPTS signal at the determined transmission point in step 906. After transmitting the UpPTS signal, the UE receives an FPACH signal transmitted from the Node B in response to the UpPTS signal, in step 907. The FPACH signal includes the T2 calculated by the Node B in the step 906 by receiving the UpPTS signal transmitted from the UE. Upon receiving the FPACH signal, the UE determines a transmission point of a physical random access channel (PRACH) using the T2 analyzed from the FPACH signal, in step 908. The term "PRACH" used in the future mobile communication system is a physical channel for transmitting the RACH. In step 909, the UE transmits the RACH signaling message with the T1 through the PRACH at the transmission point determined based on the T2.

FIG. 10 illustrates an operation of the Node B for measuring a propagation delay value in an NB-TDD CDMA mobile communication system according to an embodiment of the present invention.

Referring to FIG. 10, the Node B receives the UpPTS signal transmitted from the UE in step 1001, and then calculates T2 based on a difference between a reference (or desired) arrival point and an actual arrival point of the UpPTS signal in step 1002. Thereafter, in step 1003, the Node B transmits the FPACH signal in a given downlink time slot period. The FPACH signal includes the T2.

In step 1004, the Node B receives the RACH message that the UE has transmitted at the transmission point controlled based on the T2 transmitted through the FPACH signal. The received RACH message includes an RACH signaling message. In step 1005, the Node B includes information on the T2 in a payload of the RACH signaling message and adds a header thereto, thus constructing an RACH signaling frame. In step 1006, the Node B transmits the RACH signaling frame with the T2 information to the SRNC. A format of the RACH signaling frame with the T2 is illustrated in FIG. 6, by way of example. Upon receiving the RACH signaling frame transmitted in the step 1006, the SRNC calculates a propagation delay value between the Node B having transmitted the RACH signaling frame and the UE having transmitted the RACH signaling message, using the T1 and the T2 included in the received RACH signaling frame. The SRNC calculates a round trip delay value based on the calculated propagation delay value.

The present invention has provided the method for measuring the round trip delay value or the propagation delay value, using a process for transmitting the RACH message. However, in an alternative embodiment, it is also possible to calculate a relatively exact round trip delay value or propagation delay value, even when communication between the UE and the Node B is performed through a dedicated channel (DCH). In this case, the measured round trip delay value or propagation delay value can be used for a location service of the UE. The "DCH" is a channel for transmitting user information or control information from the upper layer. When the NB-TDD CDMA mobile communication system performs communication using the DCH, the UE continuously controls a transmission point of an uplink DCH by synchronization shifting (SS). The SS technique controls the transmission point of the uplink DCH from the UE, so that the uplink DCH should be received at the Node B exactly at the boundary of the uplink time slot for the Node B. The procedure for exactly aligning the arrival point of the uplink channel in the Node B is called a "time advance procedure". The transmission point of the UE controlled by the time advance procedure is applied to a transmission point of the uplink channel after the arrival point of the downlink channel received from the Node B. When the applied time is called "T", the T becomes a round trip delay value between the UE and the Node B. Therefore, the propagation delay value becomes T/2. The round trip delay value of the propagation delay value can be transmitted through a dedicated measurement report during communication through the DCH. The dedicated measurement report is transmitted to the SRNC. In the method for measuring the

WO 02/41540

PCT/KR01/01971

- 19 -

propagation delay value or the round trip delay value during communication through the DCH, the UE personally measures the propagation delay value.

5 In the WB-TDD CDMA mobile communication system, the SRNC measures the propagation delay value, and in the FDD CDMA mobile communication system, the Node B measures the propagation delay value. However, in the NB-TDD CDMA mobile communication system, the UE can personally measure the propagation delay value or the round trip delay value based on the information used in the time advance procedure. In addition, the
10 SRNC requests the UE to report the propagation delay value or the round trip delay value using the dedicated measurement procedure, and at the request of the SRNC, the UE calculates the propagation delay value or the round trip delay value and reports a message including the calculated value to the SRNC through the dedicated measurement report.
15

The calculated round trip delay value can be used to determine transmission power when the SRNC transmits FACH data to the UE. That is, the SRNC informs the Node B of transmission power of FACH data, so that the Node B can transmit the FACH data to the UE at preferred transmission power.
20 In addition, the round trip delay value can also be used in estimating a location of the UE. Further, the present invention provides a method for measuring the propagation delay value or the round trip delay value while the dedicated channel is established.

25 While the invention has been shown and described with reference to a certain preferred embodiment thereof, it will be understood by those skilled in the art that various changes in form and details may be made therein without departing from the spirit and scope of the invention as defined by the appended claims.

WHAT IS CLAIMED IS:

1. A method for measuring a propagation delay value of a frame transmitted by a UE (User Equipment) to a Node B in a TDD (Time Division Duplexing) mobile communication system including a frame divided into two sub-frames, each of the sub-frames having a plurality of time slots and also having a downlink pilot time slot and an uplink pilot time slot, both intervening between a first time slot and a second time slot of the plurality of time slots, the system also including the Node B for transmitting the frame fixed to a time axis, and the UE for transmitting a propagation-delayed frame in response to the frame received from the Node B, the method comprising the steps of:
- 5 acquiring synchronization with the Node B based on a downlink pilot channel signal transmitted in a period of the downlink pilot time slot, and determining an estimated round trip delay value T1 by comparing transmission power of a physical common channel signal in the first time slot with reception power of the physical common channel signal;
- 10 transmitting an uplink pilot channel signal by applying the estimated round trip delay value T1 to a desired transmission point of the uplink pilot channel signal;
- 15 receiving a transmission point correcting value T2 through a forward physical access channel (FPACH) signal transmitted from the Node B in a period of one downlink time slot among the time slots; and
- 20 transmitting a physical random access channel (PRACH) message with the estimated round trip delay value T1 at a transmission point determined based on the transmission point correcting value T2 and the estimated round trip delay value T1, so that the PRACH message is received at the Node B at a start point of a period of one uplink time slot among the time slots.
- 25
2. The method as claimed in claim 1, wherein the transmission power of the physical common channel signal is determined based on system information provided through a broadcast channel in the physical common channel signal.
- 30
3. The method as claimed in claim 1, wherein the estimated round trip delay value T1 is determined based on a path loss determined by comparing the transmission power the physical common channel signal with the reception power of the physical common channel signal.
- 35

WO 02/41540

PCT/KR01/01971

- 21 -

4. The method as claimed in claim 1, wherein the desired transmission point of the uplink pilot channel signal is determined based on the acquired synchronization.

5. The method as claimed in claim 1, wherein the transmission point correcting value T2 is determined based on an offset between an arrival point of the uplink pilot time slot and a desired arrival point of the uplink pilot time slot.

6. The method as claimed in claim 5, wherein the desired arrival point is identical to a start point of a period of the uplink pilot time slot.

7. The method as claimed in claim 6, wherein the transmission point correcting value T2 is determined within a range of -96 chips to 32 chips.

8. The method as claimed in claim 7, wherein the -96 chips are determined considering a guard period existing between the downlink pilot time slot and the uplink pilot time slot.

9. The method as claimed in claim 1, wherein a transmission point of the PRACH message is determined by a sum of the estimated round trip delay value T1 and the transmission point correcting value T2.

10. A method for measuring a propagation delay value of a frame transmitted by a Node B to a UE (User Equipment) in a TDD (Time Division Duplexing) mobile communication system including a frame divided into two sub-frames, each of the sub-frames having a plurality of downlink time slots, a plurality of uplink time slots, a downlink pilot time slot and an uplink pilot time slot, and further including the Node B for transmitting a physical common channel signal in a period of a first time slot of the sub-frame, and the UE for calculating an estimated round trip delay value T1 based on a path loss of the physical common channel signal and transmitting the uplink pilot time slot by applying the calculated round trip delay value T1, the method comprising the steps of:

determining a transmission point correcting value T2 based on an offset between an arrival point of an uplink pilot channel signal and a desired arrival point of the uplink pilot channel signal in the uplink pilot time slot period;

including the transmission point correcting value T2 in a forward physical access channel (FPACH) signal, and transmitting the PFACH signal to

WO 02/41540

PCT/KR01/01971

- 22 -

the UE in a period of one downlink time slot among the downlink time slots;
receiving a physical random access channel (PRACH) message with the
estimated round trip delay value T1, transmitted from the UE at a transmission
point determined based on the transmission point correcting value T2 and the
5 estimated round trip delay value T1, in a period of one uplink time slot among
the uplink time slots; and

transmitting the estimated round trip delay value T1 and the transmission
point correcting value T2 included in the PRACH message to a radio network
controller (RNC) to which the UE belongs, along with an RACH signaling
10 message, so that the RNC determines a round trip delay between the Node B and
the UE.

11. The method as claimed in claim 10, wherein the desired arrival
point is identical to a start point of a period of the uplink pilot time slot.

12. The method as claimed in claim 10, wherein the transmission
point correcting value T2 is determined within a range of -96 chips to 32 chips.

13. The method as claimed in claim 12, wherein the -96 chips are
determined considering a guard period existing between the downlink pilot time
slot and the uplink pilot time slot.

14. The method as claimed in claim 10, wherein the round trip delay
value is determined by a sum of the estimated round trip delay value T1 and the
transmission point correcting value T2.

15. A method for measuring a propagation delay value of a frame
exchanged between a UE (User Equipment) and a Node B in a TDD (Time
Division Duplexing) mobile communication system including a frame divided
into two sub-frames, each of the sub-frames having a plurality of downlink time
slots, a plurality of uplink time slots, a downlink pilot time slot and an uplink
pilot time slot, and further including the Node B for transmitting a physical
common channel signal in a period of a first time slot of the sub-frame, and the
UE for calculating an estimated round trip delay value T1 based on a path loss of
the physical common channel signal and transmitting the uplink pilot time slot by
applying the calculated round trip delay value T1, the method comprising the
steps of:

transmitting an uplink pilot channel signal from UE to the Node B at a

transmission point determined by applying the estimated round trip delay value T1 to a desired transmission point of the uplink pilot channel signal;

5 determining by the Node B a transmission point correcting value T2 based on an offset between an arrival point of the uplink pilot channel signal and a desired arrival point of the uplink pilot channel signal;

transmitting the determined transmission point correcting value T2 from the Node B to the UE along with a forward physical access channel (FPACH) signal in a given downlink time slot period;

10 transmitting a physical random access channel (PRACH) message with the estimated round trip delay value T1 from the UE to the Node B at a transmission point determined based on the transmission point correcting value T2 and the estimated round trip delay value T1 received through the FPACH signal;

15 receiving by the Node B the PRACH message at a start point of a given uplink time slot period; and

transmitting the estimated round trip delay value T1 and the transmission point correcting value T2 included in the received PRACH message from the Node B to a radio network controller (RNC) to which the UE belongs, along with a random access channel (RACH) signaling message, so that the RNC determines a round trip delay between the Node B and the UE.

16. The method as claimed in claim 15, wherein the desired transmission point of the uplink pilot channel signal is determined based on acquired synchronization.

25 17. The method as claimed in claim 15, wherein the desired arrival point of the uplink pilot channel signal is identical to a start point of a period of the uplink pilot time slot.

30 18. The method as claimed in claim 15, wherein the transmission point correcting value T2 is determined within a range of -96 chips to 32 chips.

35 19. The method as claimed in claim 18, wherein the -96 chips are determined considering a guard period existing between the downlink pilot time slot and the uplink pilot time slot.

20. The method as claimed in claim 15, wherein a transmission point of the physical random access channel (PRACH) message is determined by a

sum of the estimated round trip delay value T1 and the transmission point correcting value T2.

21. An apparatus for measuring a propagation delay value of a frame exchanged between a UE (User Equipment) and a Node B in a TDD (Time Division Duplexing) mobile communication system including a frame divided into two sub-frames, each of the sub-frames having a plurality of downlink time slots, a plurality of uplink time slots, a downlink pilot time slot and an uplink pilot time slot, and further including the Node B for transmitting a physical common channel signal in a period of a first time slot of the sub-frame, and the UE for calculating an estimated round trip delay value T1 based on a path loss of the physical common channel signal and transmitting the uplink pilot time slot by applying the calculated round trip delay value T1, the apparatus comprising:

the UE for transmitting an uplink pilot channel signal at a transmission point determined by applying the estimated round trip delay value T1 to a desired transmission point of the uplink pilot channel signal, and transmitting a physical random access channel (PRACH) message with the estimated round trip value T1 at a transmission point determined based on the transmission point correcting value T2 and the estimated round trip delay value T1 received through a forward physical access channel (FPACH) signal;

the Node B for determining the transmission point correcting value T2 based on an offset between an arrival point of the uplink pilot channel signal and a desired arrival point of the uplink pilot channel signal, transmitting the determined transmission point correcting value T2 along with the FPACH signal in a given downlink time slot period, and transmitting the estimated round trip delay value T1 and the transmission point correcting value T2 included in the PRACH message received at a start point of a given uplink time slot period to a radio network controller (RNC) along with an RACH signaling frame; and

the RNC for receiving the RACH signaling frame and determining a round trip delay between the UE and the Node B based on the estimated round trip delay value T1 and the transmission point correcting value T2 included in the received RACH signaling frame.

22. The apparatus as claimed in claim 21, wherein the desired transmission point of the uplink pilot channel signal is determined based on acquired synchronization.

23. The apparatus as claimed in claim 21, wherein the desired arrival

WO 02/41540

PCT/KR01/01971

- 25 -

point of the uplink pilot channel signal is identical to a start point of a period of the uplink pilot time slot.

5 24. The apparatus as claimed in claim 21, wherein the transmission point correcting value T2 is determined within a range of -96 chips to 32 chips.

 25. The apparatus as claimed in claim 24, wherein the -96 chips are determined considering a guard period existing between the downlink pilot time slot and the uplink pilot time slot.

10 26. The apparatus as claimed in claim 21, wherein a transmission point of the physical random access channel (PRACH) message is determined by a sum of the estimated round trip delay value T1 and the transmission point correcting value T2.

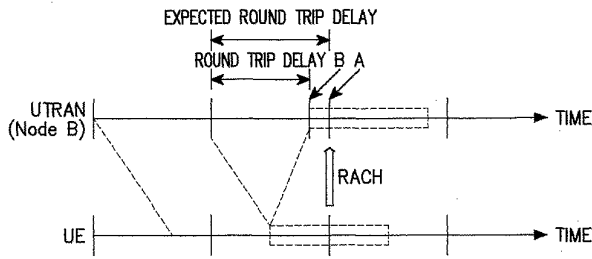


FIG. 1

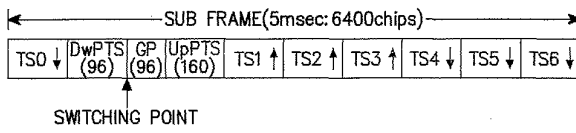


FIG. 2

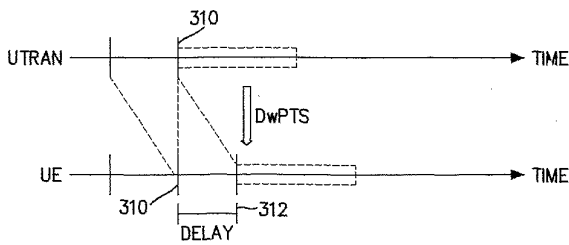


FIG. 3

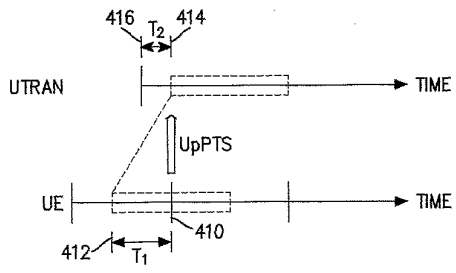


FIG. 4

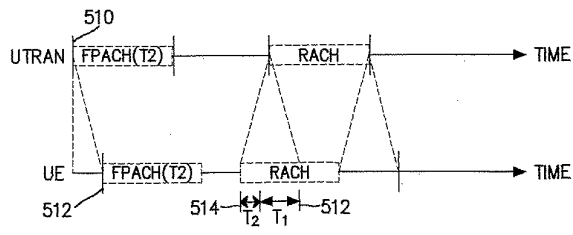


FIG. 5

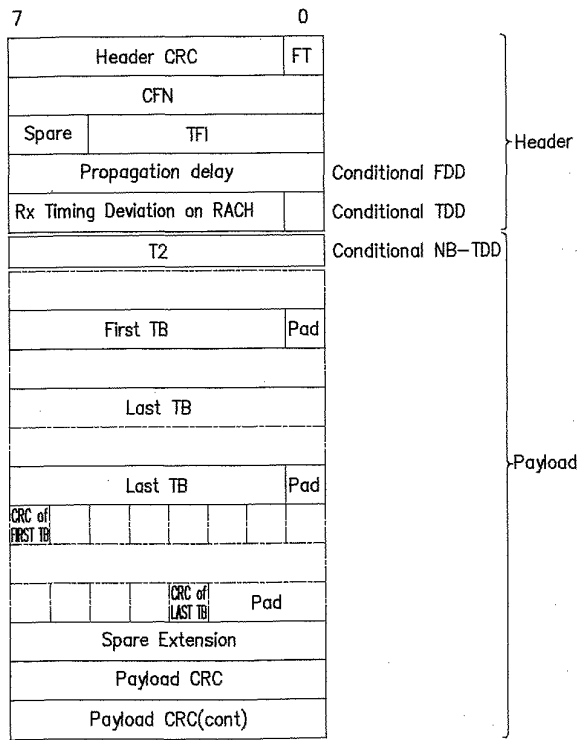


FIG. 6

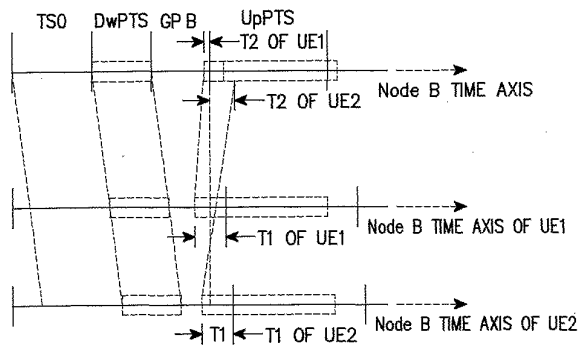


FIG. 7

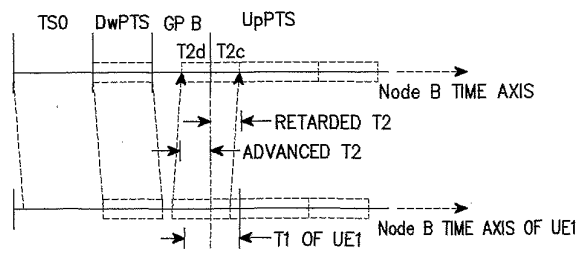


FIG. 8

5/7

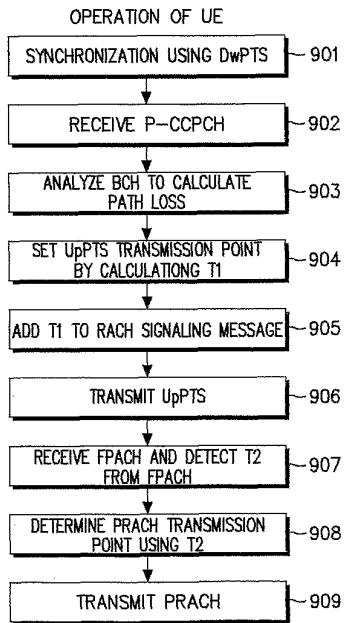


FIG. 9

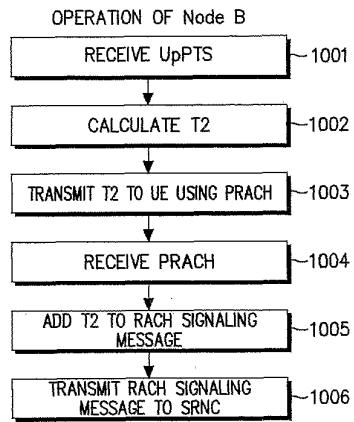


FIG. 10



FIG. 11A

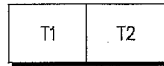


FIG. 11B

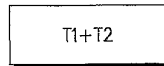


FIG. 11C

【 国際調査報告 】

INTERNATIONAL SEARCH REPORT		International application No. PCT/KR01/01971
A. CLASSIFICATION OF SUBJECT MATTER		
IPC7 H04B 17/00		
According to International Patent Classification (IPC) or to both national classification and IPC		
B. FIELDS SEARCHED		
Minimum documentation searched (classification system followed by classification symbols)		
IPC H04B, H04J		
Documentation searched other than minimum documentation to the extent that such documents are included in the fields searched		
KR,JP, IPC as above		
Electronic data base consulted during the international search (name of data base and, where practicable, search terms used)		
KIPASS : "baseband", "propagation" "delay" "time" "slot" "round" "trip"		
C. DOCUMENTS CONSIDERED TO BE RELEVANT		
Category*	Citation of document, with indication, where appropriate, of the relevant passages	Relevant to claim No.
A	US 5,959,980 A (Omnipoint Corp) 28 SEPTEMBER 1999 See Abstract, column 2, line 3 -line 36	1,10,15
A	US 5,444,698 A (NEC Corp) 22 AUGUST 1995 See column.3, line 52 - column 4, line36	1,10,15
A	US 6,094,421A (Omnipoint Corp) 25 JULY 2000 See Abstract	1,10,15
<input type="checkbox"/> Further documents are listed in the continuation of Box C. <input type="checkbox"/> See patent family annex.		
* Special categories of cited documents: "A" document defining the general state of the art which is not considered to be of particular relevance "E" earlier application or patent but published on or after the international filing date "L" document which may throw doubts on priority claim(s) or which is cited to establish the publication date of citation or other special reason (as specified) "O" document referring to an oral disclosure, use, exhibition or other means "P" document published prior to the international filing date but later than the priority date claimed "T" later document published after the international filing date or priority date and not in conflict with the application but cited to understand the principle or theory underlying the invention "X" document of particular relevance; the claimed invention cannot be considered novel or cannot be considered to involve an inventive step when the document is taken alone "Y" document of particular relevance; the claimed invention cannot be considered to involve an inventive step when the document is combined with one or more other such documents, such combination being obvious to a person skilled in the art "&" document member of the same patent family		
Date of the actual completion of the international search 08 MARCH 2002 (08.03.2002)		Date of mailing of the international search report 08 MARCH 2002 (08.03.2002)
Name and mailing address of the ISA/KR Korean Intellectual Property Office Government Complex-Daejeon, 920 Dunsan-dong, Seo-gu, Daejeon Metropolitan City 302-701, Republic of Korea Facsimile No. 82-42-472-7140		Authorized Officer HA, Yoo Jung Telephone No. 82-42-481-5624

フロントページの続き

- (72)発明者 スン・ホ・チョイ
大韓民国・463-010・キョンギ-ド・ソンナム-シ・プンタン-グ・チョンジャ-ドン・(番地なし)・ヌティマウル・306-302
- (72)発明者 クーク・フィ・イ
大韓民国・463-480・キョンギ-ド・ソンナム-シ・プンタン-グ・キュンゴック-ドン・(番地なし)・チョンソルマウル・ソクワン・アパート・#103-202
- (72)発明者 ビュン・チェ・クァク
大韓民国・463-030・キョンギ-ド・ソンナム-シ・プンタン-グ・プンタン-ドン・68
- (72)発明者 ドゥ・ヨン・キム
大韓民国・135-090・ソウル・カンナム-グ・サンソン-ドン・(番地なし)・ヘチョン・アパート・ナ-201
- (72)発明者 スン・オウ・フワン
大韓民国・449-840・キョンギ-ド・ヨンギン-シ・スジ-ウプ・(番地なし)・ベオクサン・アパート・#203-501

Fターム(参考) 5K022 EE01 EE21 EE31 FF01

5K028 BB06 CC02 CC05 HH00 KK01 KK12 LL12 RR02

5K042 AA06 BA08 CA02 DA15 EA01 FA11 GA01

5K067 AA33 CC04 CC10 DD25 DD57 EE02 EE10 EE16 GG01 GG08

GG11 HH21 HH22 JJ16 LL11